# 2 6 4 П 1 8 8 6 6 Г Д О К Л А Д Ы

# LV № 3 1972

# Խմբագրական կոլեգիա

է. Գ. ԱՖՐԻԿՑԱՆ, կենսաբանական զիտությունների դոկտու, Ա. Թ. ԲԱԲԱԵՎՆ,
ՀՍՍՀ ԳԱ ակադեմիկոս, Ա. Ա. ԹԱԼԱԼ—
ՏԱՆ ՀՍՍՀ ԳԱ թղթակից-անդամ, Վ. Մ.
ԹԱՌԱՑԱՆ, ՀՍՍՀ ԳԱ րզթակից-անդամ,
Վ. Հ. ՀԱՄԲԱՐՋՈՒՄՑԱՆ, ակադեմիկոս, Վ. Հ.
ՂԱԶԱՐՑԱՆ, ՀՍՍՀ ԳԱ թզթակից-անդամ
(պատ, խմբազբի տեղակալ), Ս. Հ. ՄԻՐՋՈ—
ՏԱՆ, ՀՍՍՀ ԳԱ ակադեմիկոս, Ա. Գ.
ՆԱԶԱՐՈՎ, ՀՍՍՀ ԳԱ ակադեմիկոս (պատխմբազիւ), Օ. Մ. ՍԱՊՈՆՋՑԱՆ, ՀՍՍՀ ԳԱ
թղթակից-անդամ, Մ. Լ. ՏԵՐ-ՄԻԿԱՅԵՐՏԱՆ,
ՀՍՍՀ ԳԱ

### Редакционная коллегия

В. А. АМБАРЦУМЯН, академик, Э. Г. АФРИКЯН, доктор биологических наук. А. Т. БАБАЯН, академик АН АрмССР, В. О. КАЗАРЯН, чл.-корр АН АрмССР (зам. отв. редактора), С. А. МИРЗОЯН, чл.-корр. АН АрмССР, С. С. МКРТЧЯН, академик АН АрмССР, А. Г. НАЗАРОВ. академик АН АрмССР, А. Г. НАЗАРОВ. академик АН АрмССР (отв. редактор). О. М. САПОНДЖЯН, чл.-корр. АН АрмССР, А. А. ТАЛАЛЯН, чл.-корр. АН АрмССР, В. М. ТАРАЯН, чл.-корр. АН АрмССР, М. Л. ТЕР-МИКАЕЛЯН, чл.-корр. АН АрмССР, М. Л. ТЕР-МИКАЕЛЯН, чл.-корр. АН АрмССР, М. Л. ТЕР-МИКАЕЛЯН, чл.-корр. АН

# 

ITUP BUUS PAU
Հ. Հ. Կազաբյան — Ալգորի թժիկ լեզուհերում՝ բույյան ֆունկցիաների իրականացման ժի ջանի գնանատականներ
4PPRPUALE IFUPBIFUSPAU
Վ. Գ. Մխիթաշյան—Սինդույար ինտնգտ-դիֆերննցիալ մավասարումների մի դառի էֆեկտիվ լուժման մասին
ՄԵԽԱՆԻԿԱ
Մ. Լ. Բուբիլկին, Վ. Ա. Սհմյոնով— <i>Սիմետրիկ Բազաեթեերի Հավաստրակյումիյան</i> ժատին
ԱՌԱՉԳԱԿԱՆՈՒԹՅԱՆ ՏԵՍՈՒԹՅՈՒՆ
է. Ա. Աղալովյան <i>–Սալձրի սաշժա</i> նային չձրաի ժասին
angrute and a second a second and a second and a second and a second and a second a
3. Պ. Սաֆաոյան—Միչուկների սպինային սիստեմի կողմից դ-թվանաների կլանման անսության շուրջը  Ա. Հ. Մելիքյան—Թեաննաիվ լուսային ալիթի ոչ կոճերնետ ռեզոնանսային ցրումը քամասերորնն լայնացված կլանման գծով ատոմի վրա
Ռ. II. Հավնաննիայան—Տորոիդալ մազհիսական դալտի նձրկայությամբ նոր տիպի պատվող Հավասարակայան էլիպսոիդային ձևձրի գոյության մասին
Francespare
2. Տ. Աղանց—էհերգահաժակարգի էլեկարական ռեժիմների հավասարամները, հիմեված հիրրիցային մատրիցաների և
ութառական գիսեն
Վ. Դ. Իսագուլյանց, Վ. Ռ. Մելիքյան, Վ. Վ. Պոկսովսկայա — 5․Վինիլթիցիկլու [ ] - -Հեպանե-Ձ-ի և Տ-Հ <i>Pիլիդենթիցիկլո-</i> [2,2,1,]-Հեպտեն-Ձ-ի ռեակցիոն ունակությունը Պրինսի
ռեակցիայում Ա. Բ. Բարայան, Լ. Խ. Գամբության—Տրիալիլ-(2,3,3,3-տետրաֆաորպրոպիլ) — ա.
debland spapapapap shadwipt chapdant depresspade durche
ՆԻԿՐԱՒԱՆՈՒ <b>ԻՅՈՒՆ</b>
է. Սփոևմյան—Հանցավանի անտիկլինորիի և Փամբակի սինկլինորիի Հոդավորման բեկորային կառուցվածքի մի բանի առանձնահատկությունները
CURUMUSINE BOOK CONTRACTOR CONTRA
Բազգասաբյան, Կ. Ի. Կաբապետյան — Ծաղկունյաց լեռնաչգβայի ներգներ նոր



# СОДЕРЖАНИЕ

N. C.	A POPULATION	- 1	A 77	100	TF A
MI	λ II I	1000	A.	801	KA
***	~ ~ .	-			1000

инческих языках	
ПРИКЛАДНАЯ МАТЕМАТИКА	
В. Г. Мхитарян—Об эффективном решении одного класса сингулярных ин- тегро-дифференциальных уровнений	
теория упругости	
Л. А. Агаловян—О погранслое пластинок	149
ФИЗИКА	
Ф. П. Сафарян—К теории поглощения 7-квантов ядерной спин системой А. О Меликян—Некогерентное резонансное рассеяние интенсивной световой	156
волны на атоме с однородно уширенной линией поглощения	163
эллипсондов при наличии торондального магнитного поля	
ЭНЕРГЕТИКА	
1 Т. Адонц—Уравнения электрических режимов энергосистемы, основанные на гибридных матрицах	174
органическая химия	
В. И. Исагулянц, В. Р. Меликян, В. В. Покровская—К вопросу о реакцион- ной способности 5-винилбицикло-{ 2,2,1 }-гептена-2 и 5-этилиденбицикло-{2,2,1}-	
гептена-2 в реакции Принса	179
ГЕОЛОГНЯ	
П. Л. Епремян Некоторые особенности глыбовой структуры в полосе сочленения Анкананского витиклинория и Памбакского синклинория	181
вулканология	
Г. П. Багдасарян, К. И. Карапетян. О новом неогеновом вулканическом центре на Цахкуняцском хребте	189

L V 1972

,3

YAK 510:164

MATEMATHKA

# Г. А. Назарян

# Некоторые оценки реализации булевых функций в алгорифмических языках

(Представлено чл.-корр АН Армянской ССР А. А. Галлаяном в III 1972)

В работе рассматриваются оценки сложности реализации управляющими системами булевых функций, принадлежащих классам некоторого достаточно широкого типа (ср. (1)), а также сравниваются оценки сложности реализации булевых функций управляющими системами различных типов (2).

Суждения, формулируемые в настоящей работе, понимаются конструктивно.

Всюду далее ч. р. ф. есть сокращение для выражения "частично рекурсивная функция", б. ф. "булева функция", н а. — "нормальный алгорифи", м. т. "машина Тьюринга", р. п. м. — "рекурсивно перечислимое множество".

Определим натуральные числа как слова в алфавите  $A_0 = \{0,1\}$ При этом роль нуля игряет пустое слово, а роль операции следовиния – алгорифм F такой, что для любого слова p в  $A_0$ .  $F(\Lambda)=0$ , F(p0) = p1, F(p1) = F(p)0 (ср. (2)). Данну натурального числа х обозначим через ((x). Для конкретных натуральных чисел сохрании обозначения 0, 1, 2, . . . Зафиксируем некоторую двуместную асимптотически оптимальную ч. р. ф., например, функцию A(n, x), построенную в (4). Для положительных натуральных чисел будем рассматривать условную сложность вида K(x|l(x)) (см. (4)) относительно A. Ее можно определить как всюду определенную двуместную иссидофункцию (%) Согласио (4) и (5) (см., например, теоремы 4 и 5 из (3) можно построить двуместную ч. р. ф. V, универсальную для всех одноместных ч. р. ф., и такую, что для всякой двуместной ч. р. ф. V, существуют одноместная общерекурсивная функция - и константа С, удовлетворяющие условиям:  $V(z(n), x) = V_1(n, x)$  и I(z(n)) < I(n) + C. Через  $z_I(p)$ . где i натуральное число, не превосходящее длины натурального числа  $p_i$ будем обозначать однобукаенное слово, единственная букая которого совпадает с 1-той буквой слова р, начиная слева (при этом нумерацию букв начинаем с единицы і. Через  $\phi$  обозначим арифметическую функцию, такую, что всегда  $\varphi(n) = \frac{n(n-1)}{2}$ . Говорим, что двуместная ч. р. ф. E смещенно рязрешает положительное натуральное число x при натуральном числе p, если  $E(p, \varphi(l(x)) - i) = \varphi_i(x)$  при 1 = i - l(x).

Для всякой двуместной ч. р. ф. E введем в рассмотрение исевдофункцию — следующим образом:  $KRS_E(x) = y$  имеет место в том и только в том случае, когда

$$\exists p(E(p, p(I(x)+i)=z_i(x) \& I(p)=y \& \exists g(I(q) \le y \& E(q, p(I(x))+i)=z_i(x).$$

Натуральное число у, удовлетворяющее указанному условию, будем называть сложностью смещенного разрешения слоза x относительно E. Сложностью смещенного разрешения KRS слова x назовем сложность его смещенного разрешения относительно функции U.

Следующая лемма устанавливает связь между величинами  $K(x,\ell(x))$  и KRS(x) (ср. ( $^{\circ}$ ), теоремы 2.2 и 2.3).

Лемма. Существует натуральное число С такое, что для любого положительного натурального х

$$|K(x|l(x)) - KRS(x)| = C.$$

Через булем обозначать арифметическую функцию, такую, что всегла  $\iota(x) = \sum_{k=1}^{n-1} \iota_k(x) 2^{n+1}$ . Всякое натуральное число f длины  $2^n$  будем называть булевой функцией от n переменных. Значением б. ф. f от n переменных на натуральном числе x глины n будем называть число x глины x x глины

Пусть M рекурсивно перечислимое множество 6, ф., тогда через  $M_n$  будем обозначать множество 6, ф. от n переменных, принадлежащих M. При фиксированном M посредствем  $d_M$  будем обозначать одноместную псевдофункцию, такую, что для всякого n значением  $d_M(n)$  этой псендофункции является количество 6, ф., принадлежащих  $M_n$ . (Строгое определение этой псевдофункции дается очениями образом). Далее мы будем пользоваться понятиями и определениями введенными в (3). Зафиксируем некоторый асимитотически оптимальный язык  $S = \{A_i, P_i\}_{i=1}^n V_i$  с критерием сложности L. Будем говорить, что сообщение X языка S реализует 6, ф. S от S переменных и писать S если для любого слова S в S длины S имеет место S несто S определяется следующим образом: S определяется в том и только в том случае, если

$$\forall f(f \in M_n := \exists X(X \to L(X) \leq z) \&$$

$$\& \forall z \in \{z \in \exists \exists f(f \in M_n \& \forall X(X \to L(X) > z'))\}.$$

Если A и B какие-либо псевдофункции, определенные для натуральных чисел и принимающие натуральные значения, то через  $A(n) \sim$  будем обозначать суждение  $\bigvee m \ni n \bigvee k (k > n = A(k) > m$ . а через A(n) - B(n) будем обозначать суждение

$$\chi m \ln \chi k(k) = 0.8 \left| \frac{A(k)}{B(k)} - 1 \right| < 2^{-m}$$

Теореми 1. Для всякого р. п. м. М и для всякого асимптотически оптимального языки SI оказывается

- 1) ecau  $d_{M}(n) = \infty$ , mo  $L_{M}(n) = ld_{M}(n)$ ;
- 2) ecan  $\exists C \forall_n (d_M(n) < C_1), mo \; \exists C \forall_n (L_M(n) < C).$

Зафиксируем алфавит  $A = [a_1, \ldots, a_k]$  из k букв, где  $a_1 = 0$  и  $a_2 = 1$ . Будем рассматривать нормальные алгорифмы в алфавите A. Нижеследующие два определения совпадают с соответствующими определениями в работе (\*). Будем говорить, что и. а. Q в A реализует б. ф. f от n переменных, и писать  $Q \nearrow f$ , если для любого натурального числа p длины n Q(p) = f(p). Сложностью и. а. Q назовем длину его изображения  $Q^{(n)}(p) = f(p)$ . Пусть одноместная псевдофункция  $D^k_M$  определяется следующим образом:  $D^n_M(n) = 2$  имеет место тогда и только тогда, когда

$$\forall f(f \in M_n \supseteq \neg \neg \exists Q(Q \nearrow f \& [Q^{no} z) \& \qquad (1)$$

$$\& \forall z'(z' < z \supseteq \neg \exists f(f \in M_n \& \forall Q(Q \nearrow f \supseteq |Q^{no} > z))).$$

Язык пормальных алгорифмов мы определим так же, как в (³) (в частности, так же, как и в (³), мы рассматриваем только правильные н. а. (¹0)). В (³) показано, что язык пормальных алгорифмов асимптотически оптимален, а следовательно, для него верна теорема 1. Применяя ее, получаем следующую теорему.

Теорема 2. Для всякого р. п. м. М булевых функций оказывается

1) ecan 
$$d_{\mathcal{M}}(n) = \infty$$
, mo  $D_{\mathcal{M}}(n) = \frac{ld_{\mathcal{M}}(n)}{\log k}$ .

2) ec. 
$$n \in C_1 \setminus n(d_M(n) < C_1)$$
, mo  $\exists C \lor n(D_M^k(n) < C)$ .

ГІусть  $A = |a_0, \ldots, a_{k-1}|$ —некоторый фиксированный алфавит из k букв. гле  $a_1 = 0$ ,  $a_2 = 1$ . Будем рассматривать машину Гьюринга с внешним алфавитом A и символом пустого состояния ячейки  $a_0$ . (Все понятия, связлиные с м.т., понимаются как в (11) (§§ 12.1, 12.2).

Будем говорить, что м. т. R вычисляет б. ф. f от n переменных, и писать R если для любого натурального числа p дляны n нмеет

место R(p) = I(p) (где R программа м. т. R). Сложностью машины Тьюринга назовем число ее внутренних состояний ( $^{10, 12}$ ); сложность машины Тьюринга R будем обозначать через N(R). Введем исевдофункцию  $D_{ij}^{k}$  аналогично (1), а именно:

$$\forall f(f \in M_n \supseteq \exists R(R \nearrow f \& N(R) = z) \&$$

$$\& \forall z'(z' < z \supseteq \exists f(f \in M_n \& \forall R(R \nearrow f \supseteq N(R) > z')).$$

Теорема 3. Для всякого р. п. м. М булевых функций оказывается

1) ecau 
$$d_M(n) = mo D_M^k(n) - \frac{Id_M(n)}{(k-1)IId_M(n)};$$

2)  $ec.in \exists C_1 \forall n(d_M(n) = C_1), mo \exists C \forall n(D_M^*(n) < C).$ 

Пусть  $Я = A_j$ ,  $A_l$ , — некоторый алгорифмический язык с критерием сложности L и  $A_j \supseteq 0$ , 1.

Говорим, что язык Я булевски разрешим, если существует н. а. G над  $A_f U | \Box U A_f$ , применимый клюбому слову вида  $X \Box f$ , где X сообщение языка Я, f — б. ф., и такой, что  $G(X \Box f) = A$  в том и только в том случае, когда сообщение X реализует б. ф. f.

Введем одноместную псевдофункцию L следующим образом: если f не есть  $\delta$ ,  $\phi$ , то L(f)=0; если f есть  $\delta$ ,  $\phi$ , то L(f)=z в том и только в том случае, если  $\exists X(X_S \succeq f \& L(X)=z) \& \chi X(X_S )=L(X)=z)$ . (В нижеследующей теореме 1 посредством  $L^{(1)}$  и  $L^{(2)}$  обозначены псевдофункции, построенные только что указанным образом для языков, соответственно,  $S_1$  и  $S_2$ ). Всякую псевдофункцию, определенную для любых натуральных чисел, условимся называть псевдопоследовательностью. Через F обозначим множество всех  $\delta$ ,  $\phi$ .

Теоремя 1. Пусть  $\mathfrak{R}_1$  булевски ра решимый язык с критерием сложности  $L^1$  и  $\mathfrak{R}_2$  асимптотически оптимальный язык с критерием сложскости  $L^2$ . Пусть для некоторого р. п. м. М булевых функций такого, что  $d_{\mathfrak{M}}(n)$  - ... имээп место  $L^1_{\mathfrak{M}}(n)$   $L^1_{\mathfrak{I}}(n)$  > 0. Тогоа существуют две псево последозательности  $|\varphi_i|$  и  $|\psi_i|$  б. ф. таких, что при любом і функции = и  $\psi_i$  зависят от і аргументов, и имеют често сотношения  $L^{(1)}(\gamma_i)$   $L^{(1)}(\psi_i)$  - 0 и  $L^{(2)}(\psi_i)$  - 1 при i

Легко видеть, что условия теоремы 4 будут выполнены, если в роли языка Я<sub>1</sub> мы будем рассматривать такие языки, как, например, язык контактных схем, язык функциональных схем в данном базисе, язык примятивно рекурсивных функций и т. п. (соответствующие определения в рамках понятия алгорифмического языка из (<sup>2</sup>) даются естественным образом (ср., например, (<sup>3</sup>), п. 4)). Таким образом мы можем зяключить из теоремы 4, что кназносуществимы булевые функ-

ции, достаточно просто реализуемые с помощью, например, нормальных алгорифмов и достаточно сложно реализуемые с помощью ковтактных схем, функциональных схем или примитивно р курсквиых функций.

В заключение пользуюсь случаем выразить глубокую благодарность П. Д. Заславскому, под руководством которого выполнена настоящая работа. Я также глубоко признателен П. П. Тер-Захарян и Г. Б. Маранджяну за ряд ценных советов и замечаний.

Вычислительный центр Академии наук Армянской ССР и Ереванского государственного унинерситета

#### 2. 2. Might affine

# Ալզուիլույիկ լեզունելում բուլյան ֆունկցիաների իրականացման մի քանի գնահատականներ

Դիտարկվում են տարբեր ալդորիք\միկ լեղուներում ռեկուրսիվ իվարկելի դասերին պատկանող բուլյան ֆունկցիաների իրականացման բարդուիկան ձետ կապված հարցերը։

բնույիի լրացուցիչ պայմանների կատարման դեպթում)։

Ապացուցվում է, որ ալգորիինիկ լեզուների ար դասում մասնավորաամեն մի ռեկուրսիվ թվարար դասի ռամար տեղի ունեն թուլյան ֆունկցիաների իրականացման բարդության Հղորական գնահատականներ (տեխնիկական

ընույիի լրացուցիչ պայմանների կատարման դեպթում)։

Մացվում է րույլան լուծնի լեզվի գաղափար (այդպիսի լեզուն, կոնաական ձևով մես այն լեզվի նամայական ֆունկցիաներ, որոնական ասիմպատունկ օպար-մայություն ամար չի լեզվի նամար չև դարող ֆունկցիաներ, որոնան ամար չի ամար չև կարող որևման այրական անար չի ում և հետանական հում և հետոն մեն կարող մեն կարող մեն կարող հում և հետոն համարան ուն հետոն չի ում և հետոն մեծ։

#### ЛИТЕРАТУРА — ЭРИЧИИНЕРВИНЫ

УДК 518

#### ПРИКЛАДНАЯ МАТЕМАТИКА

### В. Г. Мантарии

# Об эффективном решении одного класса сингулярных интегродифференциальных уравнения

(Представаено академиком АН Арминской ССР Н. X. Арутюняном 14 IV 1972)

В работе излагается эффективный способ решения сингулярного интегро-лифференциального уравнения

$$a(x) = (x) + \int \frac{-(y)dy}{y-x} = b(x) = (0.1)$$

при граничных условиях

$$\varphi(--)=0, \ \varphi(\infty)=P \quad \text{const}, \tag{0.2}$$

гле известные функции a(x),  $b(x) \in \mathcal{L}$  ( ), веизвестнаи функция a(x) ( a(x) ( a(x) ), а интеграл понимется в смысле главного значения по Коши. В дальнейшем на эти функции будут наложеные интенения уравнения (0.1) распространяется на соответствующее интегральное уравнение, а также на системы таких уравнений. Более того, указанным способом можно эффективно решить интегро-дифференциальное или интегральное уравнение типа (0.1), а также системы таких уравнений, и в том случае, когда неизвестная функция a(x) входит в интеграл в виде произведения с некоторой функцией из достаточно общего класса.

Решению интегро-дифференциального уравнения (0.1) при граничных условиях (0.2) сводится в постановке работ (1.1) решение ряда контактных задач для полуплоскости и плоскости, усиленных упрусими накладками малой толщины с переменными или постоянными физическими и геометрическими характеристиками. Эти уравнения встречнются и в других областях математической физики, навример в задачах теории дифракции (1), когда к ним применяется метод Винера-Хопфа и решение соответствующей задачи факторизации сводится к решению одного или системы интегральных уравнений упомянутого типа. Указанный выше способ эффективного решения уравнении (0.1) основан на его сведении к вполне регулирным или квазивнолие регулярным бесконечным системам линейных уравнений Приводится двя приема такого сведения. Предварительно рассматривается пла полная ортогональная система функций, тесно связанная с многочленами Эрмита и используемая и дальнейшем

В заключении обсуждается один частиый случай уравнения (0,1).

1. Известно (\* ), что если функции  $p_l(x) \in L^2(-\infty,\infty)$  (l=1,2), а функции  $\Phi_l(x)$ , (l=1,2) их вреобразования Гильберта

$$\Phi_t(x) = \frac{1}{\pi} \int \frac{\pi_t(y)dy}{y-x}$$
 (t - 1, 2)

το  $\Phi_i(x) \in L^2(-\infty, \infty)$  (i-1,2) ничет место равенство

$$\int_{\mathbb{R}^{3}} \varphi_{1}(x) \varphi_{2}(x) dx = \int_{\mathbb{R}^{3}} \Phi_{1}(x) \Phi_{2}(x) dx$$

и кроме того, преобразование Гильберта однозначно обратимо и  $L^2(-\infty,\infty)$ . Это означает, что преобразование Гильберта в пространстве  $L^2(-\infty,\infty)$  является унитарным оператором.

Рассмотрим, в частности, функции Эрмита  $He_n(x) = \frac{1}{2}H_n(x)$ , где  $\{H_n(x)\}_{n=0}^\infty$  многочлены Эрмита Введем в рассмотрение функции

$$G_R(x) = \frac{1}{x} \int \frac{He_n(y)dy}{y-x}$$
  $(n=0, 1, 2, ...)$  (1.1)

Соглясно только что сказанному

т. е. система функций  $\{G_n(x)\}_{n=0}^{\infty}$  ортогональна на интервяле  $(-\infty, \infty)$ . То, что эта система функций полна в  $(-\infty, \infty)$ , непосредственно следует из полноты системы функций Эрмига в том же пространстве  $L_1(-\infty, \infty)$ .

При помощи преобразования Фурье легко получить

$$G_{2m}(x) = (-1)^{m-1} 1 2 \pi (2m)! x \sum_{k \neq 1} \frac{[-1)^k 2^{nm}}{k! |2(m)|} \Phi\left(m-k-1, \frac{3}{2}; -\frac{x^2}{2}\right).$$

$$G_{2m+3}(x) = (-1)^m \sqrt{2/\pi} (2m-1)! \sum_{k=0}^{\infty} \frac{(-1)^k 2^{2m-(k+1)}}{k!! 2(m-k)+1!!} \Phi\left(m-k+1; \frac{1}{2} - \frac{x^2}{2}\right).$$

$$(m=0, 1, 2, \ldots).$$

гле  $\Phi(a; c; z)$  вырождения гипергеометрический функция (\*)

Отправляясь от соответствующих свойств функций Эрмита, можно похазать, что функции  $\{G_n(x)\}_{n=0}^\infty$  удовлетворяют дифференциальному уравнению  $G_n(x)+(2n+1-x^2)G_n(x)=A_n+B_nx$ ,

$$A_n = \begin{cases} 0, & \text{при } n = 2m \\ 1 \sqrt{2/\pi} 2^{m-1} (2m-1)!!, & \text{при } n = 2m+1 \end{cases}$$
 $B_n = \begin{cases} 0, & \text{при } n = 2m+1 \\ \sqrt{2/\pi} 2^m (2m-1)!!, & n = 2m \end{cases}$ 
 $(m = 0, 1, 2, ...)$ 

рекуррентному соотношению

$$G_{n+1}(x) = 2xG_n(x) - 2nG_n(x) + 2B_nx$$
 и кроме того,  $\frac{dG_n(x)}{dx} = -\frac{1}{2}G_{n-1}(x) + nG_{n-1}(x)$ .  $(n=0,\ 1,\ 2,\ \dots)$ 

Следуя (<sup>3</sup>), обычными методами математического впализа можно получить при больших индексах следующие асимптотические формулы

$$G_{2m-1}(x) = \frac{G'_{2m}(0)}{1 \overline{4m-1}} \left[ \sin 1 \overline{4m-1} x + O(x) \right]$$

$$G_{2m-1}(x) = G_{2m-1}(0) \left[ \cos 1 \overline{4m+1} x + O(x) \right], \quad \text{now } m$$
(1.3)

где O(x)—величины, остающиеся ограниченными при возрастании m, если x находится в любом ограниченном промежутке своего наменения. С другой стороны можно показать, что

$$\frac{G_{2m-1}(0)}{(-1)^{m-1}} = O(1); \quad \frac{G_{2m-1}(0)}{(-1)^m 1^{'} 2/\pi 2^m (2m-1)!} = O(1) \text{ iipit } m \to \infty$$
(1.4)

Отметим, что последние оценки, а также оценки для дополнительных членов O(x) в формулах (1.3) можно значительно уточнить и тей самым получить более точные асимптотические формулы. На этом, однако, останавливаться не будем, поскольку для наших ценсй формулы (1.3) и (1.4) вполне достаточны.

2. Обращаясь к решению сингулярного интегро-дифференциальному уравнению (0.1) при граничных условиях (0.2) положим

$$\varphi'(x) = \sum_{n=0}^{\infty} x_n He_n(x), \quad \varphi(x) = \frac{P}{2\pi} (\pi + \text{arc tg } x) + \sum_{n=1}^{\infty} y_n He_n(x), \quad (2.1)$$

где коэффициенты  $|x_n|^2_{-n}$  и  $|y_n|^2_{-n}$  неизвестны. Очевидно, что построенная функция  $\varphi(x)$  удовлетворяет граничным условиям (0.2). Далее положив 1/1  $x^2 - \sum a_n He_n(x)$ , после некоторых операций будем иметь;

На самом деяс эти величины при указанима и бескопечно маям когда т ч 136

$$x_0 = \frac{Pa_0}{\pi} + y_0, \qquad x_n = \frac{Pa_n}{\pi} - \frac{y_{n-1}}{2} + (n+1)y_{n-1} \ (n-1, 2, ...) \ (2.2)$$

Подставляя выражения функций  $\varphi(x)$  и  $\varphi(x)$  из (2.1) и (2.2) в уравнение (0.1) и используя формулы (1.1) и (1.2), после некоторых выкладок приходим к одной бесконечной системе и одной конечной системе линейных уравнений:

$$X_{m} = \frac{1}{(-2^{m}m!)^{3-1}} \left[ \sum_{n=1}^{\infty} 1^{-} 2^{n}n! K_{m,n} X_{n} - \sum_{n=1}^{\infty} 1^{-} 2^{n}n! R_{m,n} Y_{n} \right] = \frac{I_{m} - 1}{\pi K_{0,m} X_{0}} \left[ (m-1, 2, \ldots) \right]$$

$$Y_{1} = \frac{X_{0}}{\pi^{2}} = \frac{Pu_{0}}{\pi^{2} \cdot 1/2} \qquad (m-1, 2, \ldots)$$

$$Y_{m} = \frac{Y_{m-1}}{2m!} = \frac{X_{m}}{\pi^{2} \cdot m/2} = \frac{Pu_{m}}{\pi^{2} \cdot m/2} \qquad (m-3, 4, \ldots)$$

$$(2.3)$$

гле введены следующие обозначения:

притом предполагается, что b(x) аго  $\lg x \in \mathcal{L}^*(-\infty,\infty)$ . После того как определены коэффициенты  $X_n|_{n=1}^n$  и псизвестный коэффициент  $X_n|_{n=1}^n$  и псизвестный коэффициент  $X_n$  легко определится из соотношения

$$X_0 = \left[ \sum_{n=0}^{\infty} \sum_{n=0}^{\infty} \frac{2^n n!}{n!} K_{0,n} X_n - \sum_{n=1}^{\infty} \sum_{n=1}^{\infty} \frac{2^n n!}{2^n n!} R_{0,n} Y_n \right] = f_0/\pi^{n-1}.$$

Очевидно, что уравнения (2.3) можно рассматривать ках две бескопечные системы липейных уравнений.

Исследование бесконечных систем (2.3) будем проводить в предположении, что существуют производные  $a(x), b(x) \in L^p(-\infty, \infty)$ . Тогда будем иметь:

$$K_{m,n} = -K_{m,n}^{(1)}/2(n+1), \ R_{m,n} = -K_{m,n}^{(2)}/2(n+1), \ (m, n=0, 1, \dots)$$
 (2.4) The

$$K_{m,n} = \int |a'(x)G_m(x) - a(x)G_m(x) - xa(x)G_m(x)| f(e_{n-1}(x)dx,$$

$$K_{m,n}^{(1)} = \int |b'(x)G_m(x) + b(x)G_m(x) - xb(x)G_m(x)| He_{n-1}(x)dx \qquad (2.5)$$

Теперь оцении суммы

$$S_{m}^{(1)} = \frac{1}{(-2^{m}m!)^{3/2}} \sum_{n=1}^{\infty} \frac{2^{n}n!}{2^{n}n!} |K_{m,n}|, \qquad (m, n = 1, 2, ...)$$

$$S_{m}^{(2)} = \frac{1}{(-2^{m}m!)^{3/2}} \sum_{n=1}^{\infty} \frac{2^{n}n!}{2^{n}n!} |R_{m,n}|.$$

Приняв во внимание (2.1) и неравенство Коши-Буняковского, можем записать:

$$S_{m}^{(1)} = \frac{1}{2\pi(1+2^{m}m!)^{3/2}\pi^{-1}} \sum_{n=1}^{\lfloor 1/2^{n}n! \rfloor} \frac{|V=2^{n}n!|K_{m,n}^{(1)}|}{n+1}$$

$$= \frac{1}{2\pi(1+2^{m}m!)^{3/2}} \sqrt{\sum_{n=1}^{\lfloor 1/2 \rfloor} |V=2^{n}n!|K_{m,n}^{(1)}|^{2}} < \frac{1}{2\sqrt{6(\sqrt{\pi}2^{m}m!)^{3/2}}} \sqrt{\sum_{n=1}^{\lfloor 1/2 \rfloor} |V=2^{n}n!|K_{m,n}^{(1)}|^{2}}.$$

Учитывая (2.5) и известное перавенство Бесселя из теории ортогоняльных рядов, отсюда находим

$$|S_{m}^{(1)}| < \frac{1}{2\sqrt{6}(1-2^{m}m!)^{3/2}} \left| \int |a'(x)G_{m}(x) + a(x)G_{m}(x) - xa(x)G_{m}(x)|^{2} dx \right|^{1/2}$$

$$(m=1, 2, ...)$$
(2.5)

Совершенно апалогичным образом

$$S_{m}^{(1)} < \frac{1}{2\sqrt{6(\sqrt{\pi}2^{m}m!)^{2}}} \left\{ \int_{-\pi}^{\pi} [b'(x)G_{m}(x) + b(x)G'_{m}(x) - xb(x)G_{m}(x)]^{2} dx \right\}^{1/2}$$

$$(m=1, 2, ...)$$
(2.6)

Если a(x) и b(x), а также их производные финитные функции, сосредоточенные на интервале (-N, N), где N сколь угодно большое положительное число, то из оценок (2.5) и (2.6) и ассимптотических формул (1.3) и (1.4) непосредственно следует, что по крайней мере

$$S = O\left(\frac{1}{12^m(m-1)}\right)$$
. uph  $m \to \infty$ ,  $(i = 1, 2)$  (2.7)

т. е. суммы  $S_m^{(i)}$  и  $S_m^{(i)}$  при  $m \sim$  товольно быстро стремятся к нулю. Соотношение (2.7) позволяет утверждать (\*), что бесконечные системы (2.3) квазивнолие регулярны, и, следовательно, их решения можно найти с любой необходимой точностью.

3. В уравлении (0,1) и в граничных условиях (0,2) перейдем к новым переменным  $x = \lg(t/2)$ ,  $y = \lg(s/2)$ , (  $s < \pi$ ). Это преоб-

<sup>\*</sup> При помощи навестных теорем анализа можно оснободиться от указанных жестних ограничений на функциях a(x) и b(x).

разование, очевидно, связано с отображением полуплоскости на единичный круг. После перехода будем иметь;

$$2a_1(t)\cos^2\frac{t}{2}\psi'(t) + \cos^2\frac{t}{2}\int \cot \frac{s-t}{2}\psi'(s)ds = b_1(t)\psi(t) + f_1(t) - \frac{P\sin t}{2},$$

$$\psi(-\pi) = 0, \qquad \psi(\pi) = P, \tag{3.2}$$

где 
$$a_1(t) = a\left( tg_{\frac{1}{2}} \right), b_1(t) = b\left( tg_{\frac{1}{2}} \right), f_1(t) = f\left( tg_{\frac{1}{2}} \right), b(t) = p\left( tg_{\frac{1}{2}} \right).$$

Полагая  $\psi'(t) = \sum_{k=0}^\infty \psi'(t) = (-\pi < t < \pi)$  и удовлетворяя условиям (3.2), получаем

$$\psi(t) = \frac{P}{2\pi}(t+\pi) - i\sum_{k=-\infty}^{\infty} \frac{\psi_k}{k} e^{ikt} + i\gamma, \quad \gamma = i\sum_{k=-\infty}^{\infty} \frac{(-1)^k \psi_k}{k}.$$

Подставляя выражения функций У(t) и У(t) в уравнении (3.1) и принимая во внимание фундаментальное соотношение

$$\frac{1}{2\pi i} \int_{-\pi}^{\pi} \operatorname{clg} \frac{s-t}{2} e^{iks} ds = \operatorname{sign} k e^{ikt}, \quad (-\pi < t < \pi), \quad (k=0, \pm 1, \pm 2, \ldots),$$

пепосредственно вытекающее из известных формул Гильберта (4), после некоторых операций получим бесконечную систему уравнений

$$\chi_m + \sum_k K_{m,k} \, \psi_k = g_m, \quad (m = \pm 1, \pm 2, \ldots)$$
 (3.3)

где

$$K_{m,k} = K_{m,k}/2\pi^2 i \operatorname{sign} m$$
,  $g_m = f_m/2\pi^2 i \operatorname{sign} m$ ,  $(m, k = 1, 2, ...)$ 

$$K_{m,k} = \int \left[ a_1(t) + \frac{ib_1(t)}{2k \cos^2 \frac{1}{2}} \right] e^{i(k-m)t} dt,$$

$$f_{m} = \int \left[ \frac{\gamma b_{1}(t)}{2\cos^{2}\frac{t}{2}} + \frac{Pb_{1}(t)}{4\pi\cos^{2}\frac{t}{2}} (t+z) - \frac{Pa_{1}(t)}{2\pi} + \frac{f_{2}(t)}{2\cos^{2}\frac{t}{2}} + \frac{P}{2} tg \frac{t}{2} \right] e^{-imt} dt$$

Поступая аналогично предыдущему пункту, можно показать, что если  $a_1(t)$ ,  $a_1'(t)$ ,  $b_1(t) 2\cos^2\frac{t}{2}$  ( $L^2(-\pi, \pi)$  и  $a_1(-\pi)=a_1(\pi)$ , то бесконечная система (3.3) ари условии

$$|| \frac{\pi}{6} || a_1(t) || + || b_1(t)/2\cos^2\frac{t}{2} || q - 1$$

вполне регулярна.

Постоянная может быть определены способом, совершенно индогнаному указанному выше для определения

Таким образом, при определенных условнях, вообще говоря более общих чем указанные, бесконечные системы линейных уравнений, к которым изложенными двумя способами сводится интегро-дифференциальное уравнение (0.1) при граничных условиях (0.2), квозивполне регулярны или вполне регулярны.

При решении конкретных задач можно пользоваться обенми спо-

собами.

В заключении рассмотрим частный случай уравнения (0,1), когда a(x) и b(x) постоянные. Это соответствует контактной задаче для анизотронной полуплоскости, усиленной бесконечной накладкой постоянной толицины и модуля упругости. Преобразование Фурье двет

$$z'(x) = \frac{1}{2\pi} \int \frac{dF(x)}{b - iax + \pi |x|} e^{-iax} dx, \quad F(x) = \int f(x)e^{ix} dx.$$

Если I = 0 и f(x) = PH(x), где  $H(x) = функция Хеянсайда, то отсюда получим известное решение (<math>^{2}$ ).

В рассчатриваемом частном случае вместо бесконечной системы (3.3) получим следующие конечные уравнения:

$$\frac{aP}{2\pi} - \frac{a}{2} \left( \frac{y_1}{y_1} + \frac{y_{-1}}{y_{-1}} \right) + \frac{\pi b}{2} \left( \frac{y_1}{y_1} - \frac{y_{-1}}{y_{-1}} \right) = \frac{bP}{2} + b + \frac{y_0}{y_0}$$

$$a_{2k} - -(1+ik_{k-1}) + -ik_k \operatorname{sign} k - \frac{\pi}{2} [k_{k-1}\operatorname{sign}(k-1) - k_{k-1}\operatorname{sign}(k-1)] =$$

$$= \frac{(-1)^k ibP}{2k\pi} - \frac{b}{k} - g_k \quad (k = 1, 2, ...)$$

где

$$f(t) + \frac{P\sin t}{2} = \sum_{n} g_n e^{int} \quad (-\pi < t < \pi)$$

Очевидно, что коэффициснты २k( | 2) выражаются через 4. Полставив их выражения через 2. в первое уравиение, определим 4 и вместе с тем все коэффициенты.

Еревонский государственный тимперситет

#### 4: 5. TERRITORE

# Սինդուլյաբ ինտեզբա-դիֆեբենցիալ ճավաստբումների մի դասի էֆեկտիվ լուծման մասին

Աշխատանթում առաջարկվում է (0.1) տիպի սինդուլյար ինտեգրա-դիֆնրենցիալ ավասարման, որտնդ ինտեգրալը հասկացվում է Կոշու գլխավոր արժեթի իմաստով, եզրային պայմաններին բավարարող լուծման էֆեկտիվ կառուցման եղանակ։ Այլ տիսլի ինտեդրա-դիֆերձնցիալ հավասարում-140 այլը։

Ստացված արգյունքները նիմնվում են էրմիտի նայտնի բազմանդամների նետ սերտորեն կապված լրիվ օրիոգոնալ ֆունկցիաների նի դասի վրա, որջ ըստ երնույթին ֆունկցիաների նոր դաս է և որի ուսումնասիրությունը նախապես բերվում է աչխատանթում։

#### ЛИТЕРАТУРА — ЭСПАПЬЯНИЯ

1 И Х. Аруминин. ПММ. 1. 32, № 4 (1968) 1 Е. М 141. Ingenieus Archiv. 3. № 2 (1932). 1 Х Хёнл. А Марэ. К. Вестифила Теории дифрации Мля Мир. 1964. Ф Трикоми. Интегральные урявнения. Изл. П.1 М., 1960 К Титемари. Вегление в теорию интегралов Фурье. М.—Л., 1948 1 И. С. Градшении. И М. Респис Таблицы интегралов, сумы, рядов и произведений. физматтиз. М., 1962 1 В. И. Смирнов. Кърс высшей математики. Т. 3. часть 2. «Начав». 1969 1 Л. В Конгоромич. В. И. Крылов. Приближенные методы высшего виализа. Изл. М.—Л., Фи математи. 1962

УДК 539.3

**МЕХАНИКА** 

## М. Л. Бурышкин, В. А. Семенов

# О равновесии симметричных пластин

(Представлено академиков АН Армянсков ССР С. А. Амбарцумяном 18/11/1972)

В данной работе изучаются упрощения, впосимые в статические расчеты симметрией пластин. В силу своей структуры пластины могут обладать только двумя типами точечных групп симметрии: циклическими группами  $C_n$  и  $C_{no}$  ( $n=1,2,3,\ldots$ ). Элементами группы  $C_n$  являются новороты C' ( $r=0,1,\ldots,n-1$ ) на углы r, причем  $z=\frac{1}{n}$ . В группу  $C_{nr}$  кроме указанных элементов входят также отражения  $z_{r-1}$  в плоскостях, проходящих через ось симметрии и составляющих углы  $r=\frac{a}{n}$  ( $r=0,1,\ldots,n-1$ ) с некоторой плоскостью симметрии, принятой за начальную.

§ 1. Пусть некоторая система S, состоящая из пластины, связанной со стержиями, занимает область  $\Omega$  и обладает группой G симметрии порядка m. Положения точек ее срединной поверхности определяются полярными координатами  $\phi$  и  $\phi$ , причем полюс координатрасполагается на оси симметрии. Уравнения внешнего и внутреннего контуров области  $\Omega$  имеют вид  $\phi=\phi^+(\phi)$  и  $\phi=\phi^-(\phi)$ . Пронумеруем все элементы симметрии  $\phi=0$  ( $\phi=1,2,\ldots,m$ ) в следующем порядке:  $C_0^0$ ,  $C_1^0$ ,  $C_1^0$ ,  $C_2^0$ ,  $C_2^0$ ,  $C_3^0$ ,  $C_4^0$ ,  $C_4^0$ ,  $C_4^0$ ,  $C_5^0$ ,  $C_5^$ 

Если вариации прогибов ош(р, р) системы S удовлетноряют гряничным условиям, то из принципа виртуальных перемещений следует такое уравнение равновесия при действии поперечной нагрузки q(р, р):

$$\delta\left(V_{ij} + \sum_{j=1}^{m} \sum_{i=1}^{n} V_{ij}\right) = \int_{0}^{\infty} \int_{0}^{v+(v)} q(p, \gamma) \delta w(p, \gamma) dp d\gamma, \tag{1}$$

где  $V_{c}$  и  $V_{ij}$  потенциальная экергия пластины и ij-го стержия, при-чем

$$V_{2} = \frac{D}{2} \int_{0}^{2\pi} \int_{\varphi^{-}(\varphi)}^{\varphi^{+}(\varphi)} \left( \frac{\partial^{2}w}{\partial \varphi^{2}} + \frac{1}{\varphi} \frac{\partial w}{\partial \varphi} + \frac{1}{\varphi^{2}} \frac{\partial^{2}w}{\partial z^{2}} \right)^{2} - \frac{2(1-\varphi)}{\varphi} \left[ \frac{\partial^{2}w}{\partial \varphi^{2}} \frac{\partial w}{\partial \varphi} + \frac{1}{\varphi} \frac{\partial^{2}w}{\partial \varphi^{2}} \frac{\partial^{2}w}{\partial \varphi} \right] + \frac{1}{\varphi} \frac{\partial^{2}w}{\partial \varphi^{2}} \frac{\partial^{2}w}{\partial \varphi} - \frac{1}{\varphi} \left( \frac{\partial^{2}w}{\partial \varphi} \frac{\partial^{2}w}{\partial \varphi} \right)^{2} + \frac{2}{\varphi^{2}} \frac{\partial^{2}w}{\partial \varphi\partial \varphi} \frac{\partial w}{\partial \varphi} - \frac{1}{\varphi^{2}} \left( \frac{\partial w}{\partial \varphi} \right)^{2} \right] d\varphi d\varphi. \tag{2}$$

т  $V_{ij} = \int d\,V_{ij}$ . Для конкретизации последнь го выражения пеобходи-

мо задаться связями между пластиной и стерживии.

$$p(p, z) = \sum_{i=1}^{k} \sum_{k=1}^{m_i} p^{(k)}(p, z). \tag{3}$$

$$\int_{1}^{\infty} \int_{1}^{1+(z)} p_{\infty}^{(k)}(z, z) f^{(k)}(z, z) dz dz = i \qquad \frac{m}{m} \sum_{j=0}^{\infty} \int_{1}^{\infty} \int_{1}^{\infty} p^{(k)}(z, z) f^{(k)}(z, z) dz dz$$

Здесь I—число неприводимых представлений группы G, в m. —размерность у-го представления. Нумерация неприводимых представлений соответствует принятой в(2).

Пусть к системе S приложена поперечная нагрузка  $q^{(p)}(p, \phi)$ . Используя (3) и (4) получаем следующие равенства:

$$\int_{0}^{2\pi} \int_{y-(x)}^{y+(x)} q_{vk}^{(k)}(y, x) dw(y, x) dy dy = \frac{m}{m_v} \sum_{n=1}^{m_v} \int_{0}^{m_v} \int_{y-(1)}^{y+(1)} q_{vk}^{(k)}(y, x) [\delta w(y, x)]_{v_0}^{(k)} dy dx, \quad (5)$$

$$\sum_{j=1}^{m} \sum_{l=1}^{a} V_{lj} = \frac{m}{m_s} \sum_{n=1}^{m_s} \sum_{l=1}^{a} \frac{1}{b_l} V_{ll}^{(n,k)}; \quad V_2 = \frac{m}{m_s} \sum_{n=1}^{m_s} V_{ln}^{(n,k)}; \quad (6)$$

где  $b_1 = \frac{m}{n}$ , если уравнение кривой  $\Gamma_n$  имеет вид = 0 или  $z = \frac{n}{n}$  а, и  $b_1 = 1$  в противном случае;  $V_{i_1}^{(i_1, i_2)}$  и  $V_{i_2}^{(i_1, i_2)}$ — потенциальная энергия участка пластины, занимающего область — и  $i_1$ -го стержия при про-

гибах  $\mathbf{z}^{r(k)}$  пластины. Полставляя (5) и (6) в гравнение равновесня и учитывая лицевную независимость вариаций  $\mathbf{z}^{r(k)}$  ( $\mathbf{z}^{r(k)}$  ( $\mathbf{z}^{r(k)}$  ( $\mathbf{z}^{r(k)}$  ) приходим к сустеме уравнений

$$\tilde{a}\left(V_{0i}^{m(k)} + \sum_{i=1}^{n} \frac{1}{b_i} V_{1i}^{(mk)}\right) \int_{0}^{\frac{n}{m^k}} \int_{z^{k-(k)}}^{z^{k+(k)}} q_{ij}^{(k)}(\varrho, z) [\tilde{a}w(\varrho, z)]_{ij}^{(k)} d\varrho dz, \quad (\mu = 1, 2, ..., m_n),$$
(7)

определяющей функции ж<sup>(в)</sup>(р, в).

Построение функций до (с. р), механическая интерпретация системы уравнений (7), а также связанные с ней упрощения и методика рассматриваемых расчетов обсуждаются ниже.

§ 2. Воздействуя на функцию  $p(\varrho, z)$  элементом (0, 1) нолучаем некоторую нозую функцию  $p_j(\varrho, z)$ . В общем случае система функций  $p_j(\varrho, z)$   $(j-1, 2, \ldots, m)$  линейно независима и порождает m-мерное пространство  $R_m$  функций. Как показано в  $\binom{1}{2}$ , функции  $p^{(k)}(\varrho, z)$   $(z-1, 2, \ldots, l; k, \mu=1, 2, \ldots, m, l)$  являются каноническими базисными функциями регулярного представления T группы G в пространстве  $R_m$  и, следовательно

$$p^{(s)}(s, \varphi) = \sum_{j=1}^{m} c_{j\pi_{j}}^{(s)} p_{j}(s, \varphi), \tag{8}$$

где  $\iota_{n}^{\mu}$  численные коэффициенты, вещественные для группы  $C_{n\sigma}$ . Функции P ( $\iota_{n}=1,\,2,\,\ldots,\,m$ ) образуют базис k-го подпространства  $R_{i}^{\mu}$ , инвариантного относительно представления T и преобразующегося по неприводимому представлению — группы G. Весьма удобнос для приложений свойство вещественности коэффициентов  $c_{i\sigma}^{(e)}$  в случае группы  $C_{n}$  симметрии имеет место только для подпространсте, преобразующихся по неприводимым представлениям  $\tau_{i}$  и  $\tau_{i\sigma}^{(e)}$ 

(при четном n). В этом случае целесообразно функцию  $p(p, \gamma)$  раскладывать по подпространствам  $R_1^{(1)}$ ,  $R_2^{(1)}$  L(p)  $R_2^{(1)}$ ,  $(r-2, 3, \dots)$ 

$$\left\{ \frac{n-1}{n} \right\}$$
 при нечетном  $n$   $\left\{ \frac{n-1}{n} - 1 \right\}$  при четном  $n$   $\left\{ \frac{n}{n} - 1 \right\}$  при четном  $n$   $\left\{ \frac{n}{n} - 1 \right\}$  при четном  $n$ 

фициенты  $c_{p_0}^{(4)}$  можно выбрать вещественными, а формулы (3), (7) и (8) сохраняют вид, если под понимать представление, индуцируемое в  $R_n^{(1)} \cup R_n^{(1)}$  представлением  $T_n$  и положить  $m_n=2$ , а k=1. Заметим, что для двумерных представлений рассматриваемых групп матрицы операторов  $(g_1)$  и  $\tau_n$   $(g_{n-1})$   $(t=1, 2, \ldots, n)$  соответственно имеют вид

$$\left(\begin{array}{ccc}
\cos\frac{2\pi(t-1)\gamma_{t}}{n} & -\sin\frac{2\pi(t-1)\gamma_{t}}{n} \\
\sin\frac{2\pi(t-1)\gamma_{t}}{n} & \cos\frac{2\pi(t-1)\gamma_{t}}{n}
\end{array}\right) \left(\begin{array}{ccc}
-\cos\frac{2\pi(t-1)\gamma_{t}}{n} & -\sin\frac{2\pi(t-1)\gamma_{t}}{n} \\
-\sin\frac{2\pi(t-1)\gamma_{t}}{n} & \cos\frac{2\pi(t-1)\gamma_{t}}{n}
\end{array}\right) (9)$$

Используя матрицы (9) и специальные методы теории представлений ( $^{1}$  ), получаем для одномерных представлений групп  $C_n$  и  $C_{nv}$ :

$$c_{j \circ 1} = \frac{1}{m} \chi_{\tau}(g_j)$$
 (v=1, 2, ...  $\begin{cases} 2\frac{m}{n}, \text{ при четном } n \\ \frac{m}{n}, \text{ при нечетном } n \end{cases}$  (10)

а для двумерных:

$$c_{j+1}^{(k)} = \frac{2}{m} \left[ (-1)^{k(j-n-1)} \delta_{ik} \cos \frac{2\pi \eta(j-1)}{n} - \delta_{2k} \sin \frac{2\pi (j-1)\eta_i}{n} \right] . \tag{11}$$

$$c_{j,2}^{(h)} = \frac{2}{m} \left[ (-1)^{k(j-n-1)} \delta_{2k} \sin \frac{2\pi \tau_i (j-1)}{n} + \delta_{2k} \cos \frac{2\pi (j-1)\tau_i}{n} \right]. \tag{12}$$

где  $\chi_*(g_j)$  значение характера и-го неприводимого представления на элементе  $g_j\in G$   $\phi_{ik}$  и  $\phi_{ik}$ —символы Кронекера

$$a(x) = \begin{cases} 1, & \text{при } x \ge 0, \\ 0, & \text{при } x < 0, \end{cases}$$
  $= \begin{cases} v - 2\frac{m}{n} & \text{при четном } n, \\ -\frac{m}{n} & \text{при нечетном } n. \end{cases}$ 

Доказательства свойств (3) и (4) для построенных вышеуказанным способом функций  $p^{(k)}$  проводятся аналогично подобным доказательствам в (1).

Положим для групп  $C_n$  и  $C_{nv}$ ; z = (j-1)z-3,  $(0 \le i \le z; j=1, 2, ..., n)$  и  $\varphi = \frac{1}{2}(j-1)z+i$ .  $(0 \le i \le \frac{z}{2}; j=1, 2, ..., 2n)$  соответственно.

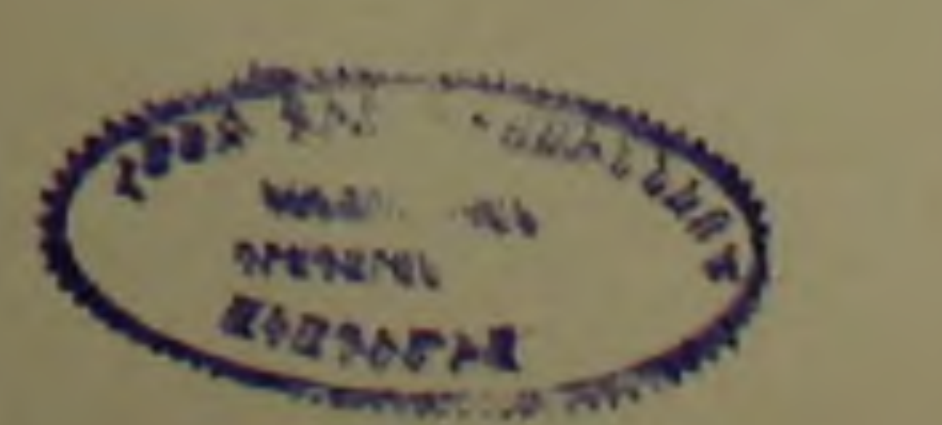
Тогда функции  $p_{11}^{(1)}(\rho, -\rho)$  преобразующиеся по одномерным представлениям групп  $C_n$  и  $C_{n\nu}$ , удовлетворяют равенствам:

$$\rho_{21}^{(1)}(\rho, \varphi) = \chi_{2}(g_{f})\rho_{21}^{(1)}(\rho, \xi) \tag{13}$$

н

$$p_{v1}^{(1)}(\rho, \varphi) = \begin{cases} \chi_{v}(C_{x}^{\frac{j-1}{2}})p_{v1}^{(1)}(\rho, \varphi), & \text{при нечетном } j, \\ \chi_{v}(C_{x}^{\frac{j}{2}})\chi_{v}(\sigma_{1})p_{v1}^{(1)}(\rho, \frac{j}{2} - \varphi), & \text{при четном } j \end{cases}$$
(14)

а для функций  $C_n$ , преобразующихся по днумерным представлениям группы  $C_n$ , имеют место следующие соотношения, которые при нечетных значениях J остаются справедливыми и для группы  $C_n$ :



$$p_{1}^{(k)}(p, \varphi) = \cos \frac{\pi(j-1)\eta}{n} p_{1}^{(k)}(p, \varphi) - \sin \frac{\pi(j-1)\eta}{n} p_{2}^{(k)}(p, \varphi)$$

$$p_{2}^{(k)}(p, \varphi) = \sin \frac{\pi(j-1)\eta}{n} p_{2}^{(k)}(p, \varphi) + \cos \frac{\pi(j-1)\eta}{n} p_{2}^{(k)}(p, \varphi).$$
(15)

Если же в случае группы  $C_{\bullet v}$  значения j четные, то

$$p_{-1}^{(k)}(\rho, z) = -\cos\frac{\pi}{n} p_{-1}(\rho, \frac{\pi}{2} - 1) - \sin\frac{\pi}{n} p_{-2}^{(k)}(\rho, \frac{\pi}{2} - 2),$$

$$p_{-1}^{(k)}(\rho, z) = -\sin\frac{\pi}{n} p_{-1}^{(k)}(\rho, \frac{\pi}{2} - 2) + \cos\frac{\pi}{n} p_{-2}^{(k)}(\rho, \frac{\pi}{2} - 2).$$
(16)

Уравнения (13), (14), (15) и (16) характеризуют те ограничения, которые накладываются на функции p ( $\varphi$ ). Нетрудно видеть, что любым заданным внутри области  $\Omega_1$  функциям  $p^{(k)}(\mathfrak{o},\mathfrak{s})$  ( $\mathfrak{p}=1,2,\ldots,m$ ), и в частности, функциям  $[\mathfrak{ow}(\mathfrak{o},\mathfrak{s})]^{(k)}$  соответствует некоторая функция  $p^{(k)}(\mathfrak{o},\mathfrak{o})$ . Поэтому под функцией  $[\mathfrak{ow}(\mathfrak{o},\mathfrak{s})]^{(k)}$  из системы (8) можно понимать произвольную вариацию прогиба в области  $\Omega_1$ , удовлятворяющую граничным условиям на соответствующих участках контуров области  $\Omega$  и ряду дополнительных условий на прямых  $\mathfrak{o}=0$  и  $\mathfrak{o}=-1$ . Так, для одномерных представлений групп  $\mathfrak{o}=-1$ 0 и  $\mathfrak{o}=-1$ 1.

$$\mathbf{w}_{s1}^{(1)(s)}(\varrho_{s}, z) = \chi_{s1}(C_{s1}) \mathbf{w}_{s1}^{(1)(s)}(\varrho_{s1}(0);$$
 (17)

Н

$$w_{i1}^{(1)(s)}(\rho, \pm) = (-1)^{s} \chi_{s}(z_{2}) w_{s1}^{(1)(s)}(\rho, \pm)$$

$$w_{i1}^{(1)(s)}(\rho, 0) = (-1)^{s} \chi_{s}(z_{1}) w_{s1}^{(1)(s)}(\rho, 0), \tag{18}$$

а для двумерных представлений:

$$w^{(k)(s)}(\rho, z) = \cos \frac{\pi \gamma_i}{n} = 0 - \sin \frac{\pi \gamma_i}{n} w^{(k)(s)}(\rho, 0),$$

$$w^{(k)(s)}(\rho, z) = \sin \frac{\pi}{n} = 0 - 0 + \cos \frac{\pi}{n} w^{(k)(s)}(\rho, 0). \tag{19}$$

И

$$w_{s_1}^{(k)(0)}(\rho, 0) = w_{s_1}^{(k)(2)}(\rho, 0) = 0, \quad w_{s_2}^{(k)(1)}(\rho, 0) = w_{s_2}^{(k)(3)}(\rho, 0) = 0, \quad (20)$$

$$w_{2}^{(k)(s)}\left(s,\frac{z}{2}\right) = \begin{cases} -\operatorname{ctg}\frac{\pi}{n}w_{1}^{(k)(s)}\left(s,\frac{z}{2}\right), & \text{при четном } s \\ \log\frac{\pi}{n}w_{2}^{(k)(s)}\left(s,\frac{z}{2}\right), & \text{при нечетном } s \end{cases}$$

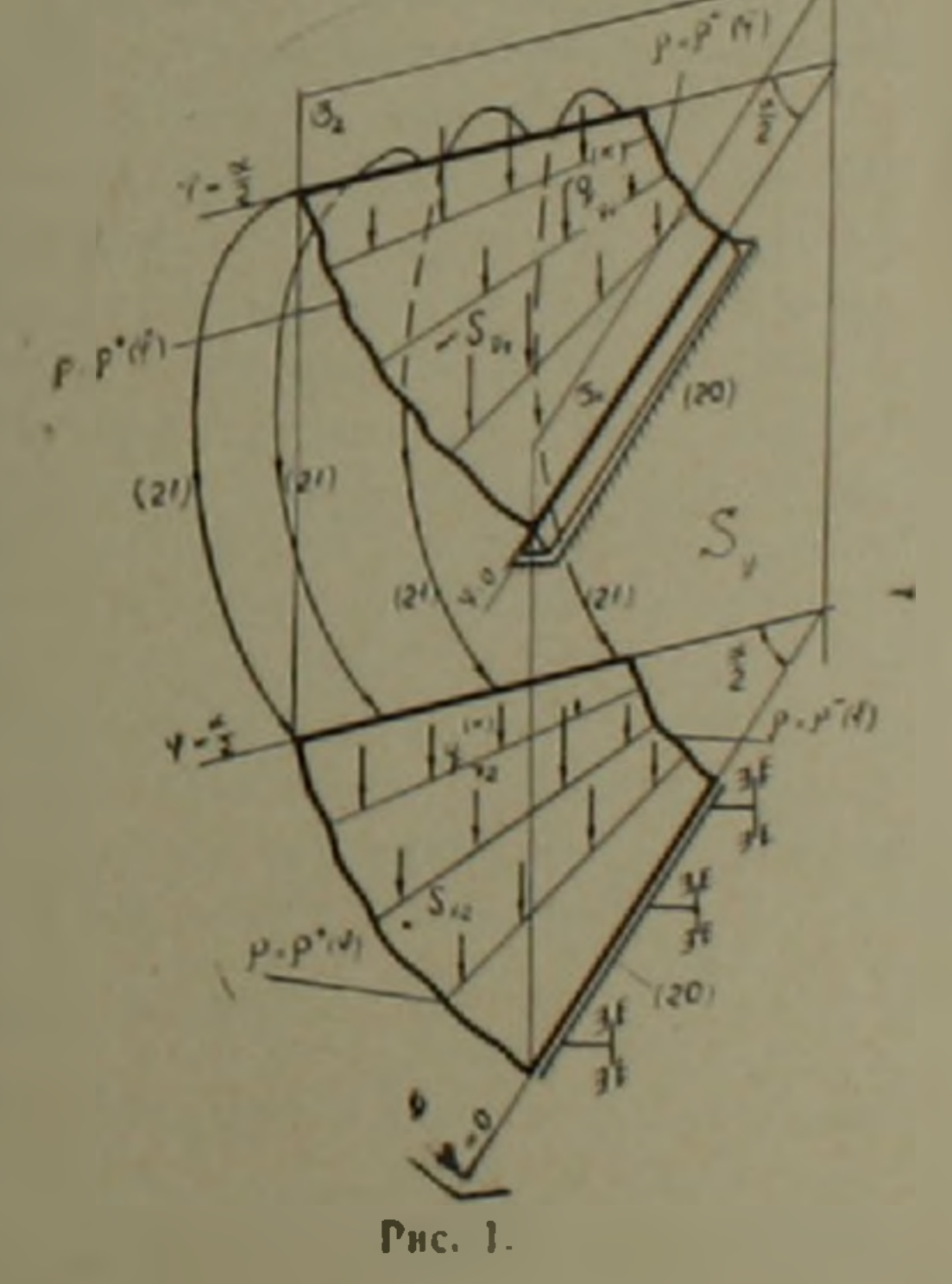
где  $w_{*}^{(k)(s)}(s,s)-s$ -я частная производная по s от функции s (s (s (s (s ), s ),

Так как любые производные по с от функций  $w^{(a)}(\rho, z)$  удовлетворяют тем же соотношениям, что и сами функции, то с помощью дифференциа вных выражений для углов поворотов и внутренних силовых факторов (а) нетрудно придать механический смысл отмеченным граничным условиям.

Для каждого представления рассмотрим систему S, состоящую из m, пластинок  $S_{p}(p=1,2,\ldots,m)$ , любая из которых совнадает с частью системы S, расположенной в  $\Omega_1$ . Схему загружения системы S, при которой на каждую ее часть S, действует соответственно нагрузка  $q^{(n)}(p,t)$ , обозначим через  $q^{(n)}$ . Если под понимать прогибы пластинки S при схеме  $q^{(n)}$  загружения, то выражение  $q^{(n)}$  можно трактовать как уравнение равновесия системы S, на части  $S_m$  которой наложены вышеуказанные граничные условня Решением этой механической залачи при схеме загружения  $q^{(n)}$  явля, ются функции  $\alpha_1^{(n)}(p,t)$ . Рис. 1 иллюстрирует расчетную схему S

ля функций  $w_{sp}^{(k)}(\rho, \tau)$ , соответствующую двумерным представлениям группы  $C_{n\nu}$ .

В заключение предлагается рациональная методика статических расчетов симметричных пластик: а) по заданной функции нагрузки на основании формул (9), (10), (11) и (12) строятся функции да (д. т); б) для каждого представления составляется своя система  $S_{i}$ ; в) определяются прогибы  $w_{\infty}^{(h)}(\rho, \varepsilon)$ пластинок S, при загрузке S, по схеме  $g^{(k)}$  (k = 1, 2, ..., m.); г) по формулам (13), (14), (15) и (16) находится функция темер ( 5); д) согласно (3) искомая функция прогибов системы S строится Kak  $w = \sum_{k=1}^{l} \sum_{k=1}^{m_k} w^{(k)}(p, p)$ .



Применение предлагаемой методики особенно целесообразно при наличии большого колнчества стержней, отверстий, точечных опор и т. п.

Одесский инженерно-строительный институт

# Սիմետրիկ թաղանըների նավասաբակչռության մասին

Աշխատանքում ուսումնասիրվում է սիմնարիկ ինականիննրի ստատիստիկ հաշվարկների պարզեցումներ։ Այդ հաշվարկների համար առաջադրվում է ռացիոնալ մեխող. ա) տված կուալին գ ֆունկդիայի միջոցով (9). (10). (11) և (12) բանաձևերի օգնությամբ կառուցվում է  $q_{i}^{(k)}$  (6, 7) ֆունկցիա, p) լուրա-դանչլուր - ներկալացման համար կազմվում է S, հաշվարկման սիստեմ, որը բաղկացած է m էլեմենտար բջիջներից՝ S, q) որոշվում է S, նարանիշների և և  $M^{(k)}(a,z)$  ձկումների օգնությամբ դանվում և և  $M^{(k)}(a,z)$  ֆունկցիաները. (15) և (16) բանաձևերի օգնությամբ դանվում և արտնելի ձկման ֆունկցիաները.

#### ЛИГЕРАТУРА— ЧРИЧИЪПЪРВЯПЬЪ

Н Г Каллан. Симметрия многоэлектронных систем, Изд. «Наука», М., 1969 1 Г. Я. Любарский, Теория групп и ее применение в физике, ГИФМЛ, 1958. 2 С П. Тимошенко, С Войновский-Кригер, Пластинки и оболочки, ГИФМЛ, М., 1963. LV 1972 3

УДК 539. 3

ТЕОРИЯ УПРУГОСТИ

#### Л. А Агаловян

### О погранслое пластинок

(Представлено акалемиком АН Армянской ССР С. А. Амбарцумяном 22 ПП 1972)

Напряженное и деформированное состояние тонкой упругей пластинки или оболочки состоит из внутреннего напряженного состояния, распространяющегося на всю пластинку или оболочку, и напряженного состояния типа пограничного слоя ( 1-3 ). В работе теория внутреннего напряженного и деформированного состояния для пластинок ( 1 ) дополняется построением погранслоя—такого напряженного и деформированного состояния, которое удовлетворяет нулевым граничным условиям (для напряжений) на нерхнем и нижнем плоскостях, быстро затухает при удалении от некоторой фиксированной линия (края) средниной плоскости в глубь пластинки и содержит достаточно произволов для взаимодействия с впутренним напряженным состоянием Функции, удовлетворяющие этим требованиям, являются функциями типа погранслоя (4). Стронтся погранслой для ортотропных пластинок.

1. Пусть край прямоугольной пластники задается уравнением х 0 и пластинка простирается вдоль х > 0. Для построения погранслоя вблизи этого края, в уравнениях грехмерной задачи теории упругости (уравнения равновесия, соотношения упругости, деформация-перемещение) сделаем обычную в теории погранслоя замену переменной

$$x = ht$$
,  $y = a\tau_t$ ,  $z = h$ . (1.1)

Решение вповь полученных уравнений, утовлетворяющее однородным граничным условиям (для  $\tau_{NZ}$ , при 1 и имеющее затухающий характер при  $\ell$  , будем искать в виде функций тина погранслоя

$$Q_{I} = \sum_{n=0}^{\infty} e^{-i\pi} Q_{I(1)}^{(n)} (\gamma_{i}, \gamma_{i}) e^{-i\pi \gamma_{i} \gamma_{i} t} + \sum_{n=0}^{\infty} Q_{I(2)}^{(n)} (\gamma_{i}, \gamma_{i}) e^{-i(\gamma_{i} \gamma_{i})t}$$
(1.2)

гле  $Q_i$  любое из напряжений и перемещений,  $\mathbf{x}_i$  и и вещественные числа, различные пока для различных напряжений и перемещений. являющиеся показателями интенсивности.  $k(\mathbf{x}_i, \mathbf{x}_i) \neq (\mathbf{x}_i, \mathbf{x}_i)$  функции

изменяемости и по свойству погранслоя Rek>0. Rek>0  $s=\frac{h}{a}$  — ма-

лый параметр, 2h—толщина, a—характерный размер пластинки,  $*_i$  и  $\mu_i$  должны подобраться так, чтобы после подстановки (1.2) в преобразованные по формулам (1.1) уравнения теории упругости и приравнения в каждом уравнении соответствующих коэффициентов при одинаковых степенях  $*_i$  начивая с низшей, получить непротиворечивые уравнения для определения  $\mu_i$  и  $\mu_i$  указанные требования будут удовлетворены, если

$$x_{ij} = x$$
,  $x_{iij} = x + 1$ ,  $\mu_{ij} = \mu$ ,  $\mu_{iij} = \mu + 1$ , (1.3)

здесь  $z_i$  любое из напряжений,  $u_i = \frac{U_i}{a}$  — любое из безразмерных перемещений. Подставляя (1.2) в вышеуказанные уравнения и учитывая (1.3), получаем

$$-k\tau_{xy(1)}^{(s)} + \frac{\partial \tau_{yz(1)}^{(s)}}{\partial \tau} - t \frac{\partial k}{\partial \tau} \tau_{yz(1)}^{(s)} = -\frac{\partial z_{y(1)}^{(s-1)}}{\partial \eta} + t \frac{\partial k}{\partial \eta} z_{y(1)}^{(s-1)}$$

$$-kv_{(1)}^{(1)} - a_{xt}z_{y(1)}^{(s)} = -\frac{\partial u_{(1)}^{(s-1)}}{\partial \eta} + t \frac{\partial k}{\partial \eta} u_{(1)}^{(s-1)} \quad (1, 2; k, \lambda), \quad (1.4)$$

$$\frac{\partial v_{(1)}^{(s)}}{\partial \tau} - t \frac{\partial k}{\partial \tau} v_{(1)}^{(s)} - a_{1t}z_{yz(1)}^{(s)} = -\frac{\partial w_{(1)}^{(s-1)}}{\partial \eta} + t \frac{\partial k}{\partial \eta} w_{(1)}^{(s-1)},$$

$$-kz_{x(1)}^{(s)} + \frac{\partial z_{xz(1)}^{(s)}}{\partial \tau} - t \frac{\partial k}{\partial \tau} z_{xz(1)}^{(s)} = -\frac{\partial z_{xz(1)}^{(s-1)}}{\partial \eta} + t \frac{\partial k}{\partial \eta} z_{xy(1)}^{(s-1)},$$

$$-kz_{xz(1)}^{(s)} + \frac{\partial z_{xz(1)}^{(s)}}{\partial \tau} - t \frac{\partial k}{\partial \tau} z_{xz(1)}^{(s)} = -\frac{\partial z_{yz(1)}^{(s-1)}}{\partial \eta} + t \frac{\partial k}{\partial \eta} z_{xy(1)}^{(s-1)},$$

$$-ku_{(1)}^{(s)} = a_{1t}z_{xx(1)}^{(s)} + a_{1z}z_{y(1)}^{(s)} + a_{1z}z_{x(1)}^{(s)},$$

$$-ku_{(1)}^{(s)} + \frac{\partial k}{\partial \tau} w_{(1)}^{(s)} = a_{1t}z_{x(1)}^{(s)} + a_{2t}z_{x(1)}^{(s)} + a_{2t}z_{x(1)}^{(s)},$$

$$-kw_{(1)}^{(s)} + \frac{\partial k}{\partial \tau} w_{(1)}^{(s)} = a_{1t}z_{x(1)}^{(s)} + a_{2t}z_{x(1)}^{(s)} + a_{2t}z_{x(1)}^{(s)},$$

$$-kw_{(1)}^{(s)} + \frac{\partial k}{\partial \tau} w_{(1)}^{(s)} = a_{2t}z_{x(1)}^{(s)} + a_{2t}z_{x(1)}^{(s)} + a_{2t}z_{x(1)}^{(s)},$$

$$-kw_{(1)}^{(s)} + a_{2t}z_{x(1)}^{(s)} + a_{2t}z_{x(1)}^{(s)} + a_{2t}z_{x(1)}^{(s)} - t \frac{\partial k}{\partial \tau} w_{(1)}^{(s)} = a_{2t}z_{x(1)}^{(s)},$$

$$-kw_{(1)}^{(s)} + a_{2t}z_{x(1)}^{(s)} + a_{2t}z_{x(1)}^{(s)} + a_{2t}z_{x(1)}^{(s)} + a_{2t}z_{x(1)}^{(s)},$$

$$-kw_{(1)}^{(s)} + a_{2t}z_{x(1)}^{(s)} + a_{2t}z_{x(1)}^{(s)} + a_{2t}z_{x(1)}^{(s)},$$

$$-kw_{(1)}^{(s)} + a_{2t}z_{x(1)}^{(s)} + a_{2t}z_{x(1)}^{(s)} - t \frac{\partial k}{\partial \tau} w_{(1)}^{(s)} = a_{2t}z_{x(1)}^{(s)},$$

$$-kw_{(1)}^{(s)} + a_{2t}z_{x(1)}^{(s)} + a_{2t}z_{x(1)}^{(s)} - t \frac{\partial k}{\partial \tau} w_{(1)}^{(s)} + a_{2t}z_{x(1)}^{(s)},$$

$$-kw_{(1)}^{(s)} + a_{2t}z_{x(1)}^{(s)} + a_{2t}z_{x(1)}^{(s)} - t \frac{\partial k}{\partial \tau} w_{(1)}^{(s)} = a_{2t}z_{x(1)}^{(s)},$$

$$-kw_{(1)}^{(s)} + a_{2t}z_{x(1)}^{(s)} + a_{2t}z_{x(1)}^{(s)} - t \frac{\partial k}{\partial \tau} w_{(1)}^{(s)} - t \frac{\partial k}{\partial \tau} w_{(1)}^{(s)}$$

В (14) и (1.5) и в дальнейшем обозначение (1,2; k,  $\prime$ ) означает, что есть и вторые системы уравнений, которые получаются от этих заменой k на  $\ell$ , нижнего индекса при напряжениях и перемещениях (1) на (2).  $a_{ik}$  — коэффициенты упругости. Величины  $Q_{ik}$  О при j < 0. Нз уравнений (1.4) и (1.5) вытекает k = const.  $\ell = \text{const.}$  Для них в

дальнейшем будут получены характеристические уравнения, выте-

$$\tau_{xz} = 0$$
,  $\tau_z = 0$ ,  $\tau_{yz} = 0$ ,  $\tau_{yz} = 0$  (1.6)

2. Уравнения (1.4) составляют полную систему для определения величин  $\tau_{xy(i)}^{(s)}$ ,  $(i=1,\ 2)$ .

$$\frac{e(s)}{xy(t)} = -\frac{k}{a_{tt}} \frac{1}{\sigma(t)} - \frac{1}{a_{tt}} \frac{\partial u_{(1)}^{(t-1)}}{\partial \tau_{t}} \\
\frac{e(s)}{v_{R(1)}} = \frac{1}{a_{tt}} \frac{\partial v_{(1)}^{(s)}}{\partial \tau_{t}} + \frac{1}{a_{tt}} \frac{\partial u_{(1)}^{(t-1)}}{\partial \tau_{t}} \tag{1.25}$$

$$\frac{\partial^2 v_{(1)}^{(s)}}{\partial \zeta^2} + b^2 k^2 v_{(1)}^{(s)} = R_{(1)}^{(s-1)}, \qquad (1, 2; k, \lambda)$$
(2.2)

где

$$b^{2} = \frac{a_{44}}{a_{44}}, \qquad R_{(1)}^{(3-1)} = b^{2}k \frac{\partial u_{(1)}^{(3-1)}}{\partial \tau_{i}} - \frac{a_{(1)}}{\partial \tau_{i}} - a_{44} \frac{\partial z^{(4-1)}}{\partial \tau_{i}}$$
(2.3)

Факт определения  $\tau_{(1)}^{(s)}$  из обыкновенного дифференциального равнения (переменная у входит как параметр) хорошо согласуется со свойством погранслоя (1). Общим решением уравнения (2.2) будет

$$v_{(1)}^{(s)} = C_{1k}^{(s)}(\gamma_i) \sin nk_i + C_{2k}^{(s)}(\gamma_i) \cos nk_i + v_{11}^{(s)}, \quad (1, 2; k, k) \quad (2.4)$$

гле  $v_{(1)}^{(1)}$ — частное решение неоднородного уравнения (2.2). Подставляя (2.4) в (2.1), находим значения напряжений. Это решение навовем решением типа антиплоского погранслоя. В частностя, требуя, чтобы  $v_{(1)}^{(1)} = 0$ , получаем систему однородных уравнений относительно неизвестных  $C_{(1)}^{(0)}$  и  $C_{(2)}^{(0)}$ . Приравнивая к нулю определитель этой системы, получаем характеристические уравнения:

$$\cos bk = 0, \qquad \sin bk = 0. \tag{2.5}$$

Из первого уравнения определяется  $k=\frac{1}{a_{11}}\frac{\overline{a_{11}}}{a_{11}}(2n-1)\frac{\pi}{2}$ , (n=0,1,2)—соответствующая кососимметричной задаче (изгиб), я из второго  $k=\frac{1}{a_{11}}\frac{\pi}{a_{11}}\pi n$ ,  $(n=1,2,\dots)$ , соответствующая симметричной задаче (растяжение). Каждому значению k соответствует своя функция типа погрансдоя,

Уравнения (1.5) составляют полную систему для последовательного определения величин  $\mathfrak{p}_{y(t)}^{(s)}$ ,  $\mathfrak{u}_{(t)}^{(s)}$ ,

$$\sigma_{x(1)}^{(s)} = \frac{1}{\Omega_{1}} \left[ \frac{A_{1}}{K_{2}} \frac{\partial^{3} w_{(1)}^{(1)}}{\partial^{3}} + A \frac{\partial w_{(1)}^{(1)}}{\partial^{7}} \right] + R_{x(1)}^{(s-1)},$$

$$\sigma_{x(1)}^{(s)} = \frac{1}{A_{3}\Omega_{1}} \left[ -\frac{A_{1}A_{2}}{K^{2}} \frac{\partial^{3} w_{(1)}^{(s)}}{\partial^{7}_{3}} + (\Omega_{1} - A_{2}^{2}) \frac{\partial w_{(1)}^{(s)}}{\partial^{7}_{4}} \right] + R_{x(1)}^{(s-1)},$$

$$\tau_{x(1)}^{(s)} = \frac{1}{\Omega_{1}} \left[ \frac{A_{1}}{K} \frac{\partial^{2} w_{(1)}^{(s)}}{\partial^{7}_{3}} + A_{2} k w_{(1)}^{(s)} \right] + R_{xx(1)}^{(s-1)},$$

$$\tau_{x(1)}^{(s)} = -\frac{1}{a_{22}} \left[ a_{12} \tau_{x(1)}^{(s)} + a_{23} \tau_{x(1)}^{(s)} \right] + \frac{1}{a_{22}} \frac{\partial v_{(1)}^{(s-1)}}{\partial^{7}_{4}},$$

$$u_{(1)}^{(s)} = -\frac{1}{A_{3}\Omega_{1}} \left[ \frac{\Omega A_{1}}{k^{3}} \frac{\partial^{3} w_{(1)}^{(s)}}{\partial^{7}_{3}} + A_{2} (\Omega + \Omega_{1}) \frac{1}{k} \frac{\partial w_{(1)}^{(s)}}{\partial^{7}_{4}} \right] + R_{x(1)}^{(s-1)},$$

$$(1, 2; k, i)$$

где

$$R_{x(1)}^{(s-1)} = -\frac{1}{k} \left[ -\frac{\partial z_{xy(1)}^{(s-1)}}{\partial \eta} - \frac{\Omega}{\Omega_{1}} \frac{1}{k} \frac{\partial^{2} z_{xz(1)}^{(s-1)}}{\partial \eta \partial z_{x}^{s}} + \frac{A_{12}}{\Omega_{1}} \frac{1}{k} \frac{\partial^{3} v_{(1)}^{(s-1)}}{\partial \eta \partial z_{x}^{s}} \right]$$

$$R_{x(1)}^{(s-1)} = -\frac{A_{1}}{A_{2}} R_{x(1)}^{(s-1)} - \frac{a_{23}}{A_{1}a_{21}} \frac{\partial v_{(1)}^{(s-1)}}{\partial \eta}$$

$$R_{xz(1)}^{(s-1)} = -\frac{\Omega}{k\Omega_{1}} \left[ -\frac{\partial z_{xz(1)}^{(s-1)}}{\partial \eta} + \frac{A_{12}}{\Omega} \frac{\partial^{2} v_{(1)}^{(s-1)}}{\partial \eta \partial z_{x}^{s}} \right]$$

$$Q_{xz(1)}^{(s-1)} = -\frac{\Omega}{k\Omega_{1}} R_{x(1)}^{(s-1)} - \frac{A_{11}}{A_{3}k} \frac{\partial v_{(1)}^{(s-1)}}{\partial \eta}, \qquad (1, 2; k, \gamma)$$

$$A_{1} = \frac{a_{11}a_{22} - a_{12}^{2}}{a_{22}}, \quad A_{2} = \frac{a_{13}a_{22} - a_{12}a_{23}}{a_{22}}, \quad A_{3} = \frac{a_{33}a_{22} - a_{23}^{2}}{a_{22}},$$

$$\Omega = A_{1}A_{3} - A_{2}^{2}, \quad \Omega_{1} = \Omega - A_{2}a_{35}, \qquad (2.8)$$

$$A_{11} = \frac{A_{1}a_{12} - A_{2}a_{23}}{a_{22}}, \quad A_{12} = \frac{A_{1}a_{23} - A_{2}a_{12}}{a_{22}}$$

ш определяется из уравнения

$$\frac{\partial^{4}w_{(1)}^{(s)}}{\partial_{s}^{4}} + 2b^{2}k^{2} \frac{\partial^{2}w_{(1)}^{(s)}}{\partial_{s}^{2}} + \kappa^{4}b_{2}w_{(1)}^{(s)} = K_{w(1)} \qquad (1, 2; k, i)$$
 (2.9)

гле

$$P_{\frac{1}{2}}^{(3-1)} = \frac{1}{A_1} \frac{\partial}{\partial \tau_i} \left[ -k \, \Omega_1 \frac{\partial z_{\frac{1}{2}}^{(3-1)}}{\partial \tau_i} - k^2 a_{55} A_3 \frac{z_{\frac{1}{2}}^{(3-1)}}{y_{2}(1)} - \Omega \frac{\partial^2 z_{\frac{1}{2}}^{(3-1)}}{\partial \tau_i^2} + \frac{k^2}{2} (a_{55} A_3 A_{12} - A_{11} \Omega_1) \frac{\partial v_{\frac{1}{2}}^{(1)}}{\partial \tau_i} + A_{12} \frac{\partial^3 v_{\frac{1}{2}}^{(3-1)}}{\partial \tau_i^3} \right]$$
(2.10)

$$b_1^2 = \frac{a_{55} + 2A_2}{2A_1}, \qquad b_2^4 = \frac{A_3}{A_1}. \tag{2.11}$$

Общим решением уравнения (2.9) будет

$$\mathbf{w}_{(t)}^{(t)} = \mathbf{w}_{(t)}^{(t)} + \mathbf{w}_{(t)}^{(t)}, \qquad (t=1,2)$$
 (2.12)

где  $\overline{w}_{(t)}^{(t)}$  общее решение однородного уравнения,  $\overline{w}_{(t)}^{(t)}$ —частное решение пеоднородного уравнения. Вид общего решения однородного уравнения зависит от значения величины  $m=1-\left(\frac{h}{b_1}\right)^t$ . Случай m=0

соответствует изотропной пластинке, а когда m=0, анизотропной. Поэтому функции типа плоского погранслоя для изотропной пластинки будут принципиально отличаться от анизотропной. Для исходного приближения s=0 уравнение (2.9) становится однородным и его решением для изотропной пластинки будет:

$$w_{1k}^{(0)} = D_{1k}^{(0)}(\gamma_i)\cos k_i + D_{2k}^{(0)}(\gamma_i)\sin k_i + D_{3k}^{(0)}(\gamma_i)\sin k_i - D_{3$$

Подставляя (2.13) в (2.6), можно найти значения напряжений  $\tau_{xx(1)}^{(0)}$  и  $\tau_{xx(1)}^{(1)}$ . Требуя, чтобы они удовлетворяли условиям (1.6), получаем две независимые однородные системы относительно неизвестных  $D_{xx(1)}^{(0)}$ . В частности, кососимметричной задаче соответствует система:

$$\begin{split} D_{1k}^{(0)}k\cos k & D_{2k}^{(0)}[2(1-\nu)\cos k - k\sin k] = 0, \\ D_{1k}^{(0)}k\sin k - D_{2k}^{(0)}[(1-2\nu)\sin k + k\cos k] = 0. \end{split} \tag{2.14}$$

Для существования ненулевого решения необходимо, чтобы определитель системы (2.14) равнялся нулю. Приравнивая его к нулю, получаем новое характеристическое уравнение для k. Так как мы уже определили k из уравнения (2.5), то эти k не будут уловлетворять нювь полученному характеристическому уравнению. Следовательно  $D^{(0)} = D_k = 0$ . Точно так же можно доказать, что  $D^{(0)}_{3k} = D^{(0)}_{4} = 0$ . Поэтому отличными от нуля функциями типа плоского погранслоя для исходного приближения будут  $\sigma^{(0)}_{(2)}$ ,  $\sigma^{(0)}_{y(2)}$ ,  $\sigma^{(0)}_{y(2$ 

Аналогичным образом для определения /, соответствующей симметричной задаче, можно получить:

$$\sin 2i + 2i = 0,$$
 (2.16)

Нас будут интересовать те кории ураннений (2.15) и (2.16), у которых  $(C_{1}, C_{2}, C_{3})$  Ураннений (2.15) и (2.16) хорошо исследованы  $(C_{1}, C_{3})$  Имея кории уравнений (2.15) и (2.16) и учитывая (2.14), можно и  $D_{10}^{(0)}$  и  $D_{10$ 

Можно доказать, что следовательно  $\tau_{ry(2)}^{(0)} = \tau_{ry(2)}^{(0)} = 0$  Тот факт, что величнну k определили из характеристических урав нений (2.5), а — из уравнений (2.15) и (2.16), не является ограничением, так как очевидно, что оба эти случая охватывают все возможные случаи.

3. Для анизотропных пластинок в случае m 0 решением урав нения (2.9) при s=0 будет

$$D_{14}^{(0)} = D_{14}^{(0)} \cos z_1 k_1^2 + D_{24}^{(0)} \sin z_1 k_2^2 + D_{4k}^{(0)} \sin z_2 k_1^2$$
 (3.1)

176

$$a_1 = b_1 \sqrt{1 - \sqrt{m_1}}$$
  $a_2 = b_1 \sqrt{1 + \sqrt{m_1}}$   $m = 1 - \left(\frac{b_2}{b_1}\right)^4$  (3.2)

Проведя те же рассуждения, что и в изотропном случае, можно доказать, что  $Q_{\rm eff}^{\rm cr}$  О. Следовательно (3.1) имеет смысл для индекса (2), где и для кососимметричной задачи будет определяться из уравнения

$$ctgz = \varphi ctg\omega z, \quad r_Ae \quad z = z_1\lambda, \quad = \frac{z_1}{z_2} \quad 1, \quad (3.3)$$

а для симметричной из уравнения

$$clgoz = clgz$$
. (3.4)

Случаю m < 0 соответствует решение

$$w_{(1)}^{(0)} = D_{1k+1}^{(0)} + D_{2k+2}^{(0)} + D_{2k+3}^{(0)} + D_{4k+4}^{(0)} + (1,2; k, i)$$
(3.5)

гле

$$= cos_{1}.ch_{12}.$$
  $= sin_{1}.sh_{12}.$  (3.6)  
 $= sin_{1}.ch_{12}.$   $= cos_{1}.sh_{12}.$ 

$$\gamma_1 = b_1 \alpha k, \ \gamma_2 = b_1 \beta k, \ \alpha = \frac{1}{\sqrt{2}} \sqrt{\frac{b_2^2}{b_1^2}} + 1, \quad \beta = \frac{1}{\sqrt{2}} \sqrt{\frac{b_2^2}{b_1^2}} - 1, \quad (3.7)$$

и определяется из характеристических уравнений

$$sh2pz-psin2z=0$$
,  $sh2pz-psin2z=0$ ;  $z=h_1az$ ,  $p=-\frac{1}{2}$  (3.8)

соответствующих кососимметричной и симметричной задачам. Во всех приведенных выше трансцендентных уравнениях нужно найти те корни этих уравнений, у которых  $R_d > 0$ .

Аля нахождения решения типа погранслоя при s>O необхолимо решать неоднородные уравнения (2.2) и (2.9), затем использовать формулы (2.1) и (2.6). При этом неоднородные уравнения будут иметь смысл как для индекса (1), так и для (2). В этих уравнениях к и л иужно считать изнестными (они определялись из исходного приближения). Общие решения этих уравнений можно найти по формулам (2.4) и (2.12). Частные решения этих уравнений находятся элементарным путем, так как в (2.3) и (2.10) входят те же фундаментальные функции, что и в (2.4), (2.13), (3.1) или (3.5), Потребовав, чтобы 154

$$=0$$
,  $(s>0)$  npu = 1 (3.9)  
 $=a_{n}(s) + a_{n}(s) = 0$ ,  $a_{n}(s) = 0$ 

найдем часть произволов в общих решениях (2.4) и (2.12). Остальная часть произволов и показатели интенсивности должны определяться из взаимодействии погранслоя с основным напряжениям и деформиронанным состоянием. Таким образом, можно построить погранслой в любом приближении.

Автор весьма признателен академику АН Армянской ССР С. А Амарцумяну за обсуждение данной работы

Институт механики Академии наук Армансьой ССР

#### t. u uzmudane

# Սալերի սանմանային չերտի մասին

արժեն քաւցաւոլն րընդայանվաց է ոտչպարայիք Հրեան ական ֆաւցինիարբերամ։

արտել քաւցաւոլն ըննդայանվաց է ոտչպարային արանավու դասանարացիսց վելակի արասին արտերային ու մբջանարար վելակ՝ անաարային կարվացային վելակի արասին քանաարանար քանաարանար քանաարանար չարանարին նանաարատատարար գարարանարին արասին քանաարատատարար գարարանար չարանարին արտարանար չարանարին արտարանար չարանարին արտարանար չարանարին արտարանար չարանարին արտարարին արտարարին արտարարին արտարարին արտարանարին վելակի արասին արտարարին արտարար

ված բոլոր մեծությունները։

Ված բոլոր մեծությունները։

Ապացուցվում է երկու տիպի սահմանային չերտերի (նզրային հետև մապ.

Ապացուցվում է երկու տիպի սահմանային չերտեղիչ հավասարումներ։

Ապացուցվում է երկու տիպի սահմանային չերտեղիչ հավասարումներ։

Ապացուցվում է երկու տիպի սահմանային չերտեղիչ հավասարումներ։

Ապացուցվում է երկու տիպի սահմանային չերտերի (նզրային որմետական և

Ապացուցվում է երկու տիպի սահմանային չերտերի (նզրային հետև կապ.

Ապացուցվում է երկու տիպի սահմանային չերտերի չետ կապ.

#### JHIEPATYPA PPILLEDAPPEAPE

<sup>3</sup> А. Л. Гольденоейлер, А. В. Колос, ПММ 1.25, пып. I (1985). <sup>3</sup> I. Е. Огент. Ргос, Roy. Soc. A. vol. 269 (1962). <sup>3</sup> Л. А. Агеловин, МТТ, № В (1966). <sup>4</sup> М. И. Вишив. т. Л. А. Люстерник, УМН, т. XV, пып. З (1960). <sup>3</sup> Я. С. Уфлинд, Интегральные преобрамивании в задачах теория упругости, Ил. АН (ССР, М., 1953. <sup>4</sup> И. И. Ворович. С. Малкина в св. Тр. VI Петериной конференции по тегрии объемчек и пластии в. М., Наука<sup>4</sup>, 1966.

LV 1972

YAK. 535.341

**ФИЗИКА** 

3

#### Ф. П. Сафарян

К теории поглощения , квантов ядерной спин системой (Представлено чт-корр. АН Армянской ССР М. Л. Тер-Микаеляном 8 III 1972)

1. В литературе имеется много работ по теории у-спектроскопии резонавсных ядер, где исследованы влияния некоторых существенных факторов, связанных с динамикой кристаллической решетки, на спектральные характеристики (ширина, положение, интенсивность) линии Мессбауэря (см., например (1). Так, достаточно хорошо исследовано влияние теплового движения нонов кристалла на интенсивносты, ширину и положение линии поглощения (или исспускания) 7-квантов ядерной спин системой (2). Но необходимо учитывать, что динамика колебаний решетки влияет на вышеуказанные характеристики линии т - поглощения также косвенным путем через изменения локальных электрических или магиитных полей в точке, где находится резонансное ядро. Периодическое изменение электрических и магнитных полей, вызываемых колебанием кристалической решетки, может стать причиной не только уширения (3) ядерных уровней (приводящих к уширению спектральных линий), а также к изменению положения и интенсивности этих линий. При этом связь между спин системой и решеткой может осуществляться разными способами. В теории ЯМР хорошо извести например, электронно-квадрупольное, магнитно-ди польног, ядер-магариног и т. д. спит-фриончое взаимодействие.

В настоящей работе, методом температурных функций Грина. вычисляется коэффициент и глощения у-кванта ядерной спив системой для общего случая косвенного взаимодействия спии системы с решет кой. Затем в конкретном случае квадрупольного спин - фоновного взаимодействия, приближение оцениваются роли повых температурно зависящих членов в интенсивности, положении ширины линий.

2. Вычисление коэ рфициента поглощения ; - кванта основано на применении теоремы Кубо об отклике системы, на внешнее периодическое малое возмущение. Для коэффициента поглощения ; - кванта частотой ф можно написать (1):

$$\sigma(\omega) = CI_m \left( \frac{1}{\mu} \lim_{n \to \infty} \int dt e^{-t-t-|\alpha|t} \langle |M(t), M| \rangle \right). \tag{1}$$

$$C = \frac{2I_0 E_{\star}(\omega)}{2I_0 E_{\star}(\omega)}, \qquad 3 = \frac{h}{kT}$$

/<sub>0</sub> плотность потока энергии (асктор Умова—Пойтинга); — амилитуда электромагнитного колебания (для т лучей);

$$E_{\beta}(\omega) = \frac{\hbar \omega}{2} \operatorname{cth}(\beta \hbar \omega); \quad M(t) = e^{itt} M e^{itt},$$

(H — гамильтониан системы): где М операгор в анмодействия ядра с излучением:

$$M = \sum_{n=0}^{\infty} \frac{q_n}{m_n} (\varepsilon \pi_n) e^{-iNr_n}. \tag{2}$$

ната у-го нуклона; в и K, соответственно, заряд, масса, импульс и координята у-го нуклона; в и K, соответственно, вектор поляризации и няпульс поглощенных лучей.

Переходя от лабораторной системы отсчета к системе, связанной с резонансным ядром посредством преобразования  $\rho = r - R$ ,  $(R_{\bullet} - \kappa oopдината центра массы ядра) получим:$ 

 $M = d(s)e^{-s}$  (2a)

146

$$d(p) = \sum_{m=1}^{q} (e \pi \cdot 1e^{-iR})$$

часть оператора взаимодействия, зависящая голько от внутренних координат р, нуклонов.

В представлении вторичного квантования М имеет вид:

$$M = \sum_{n=0}^{\infty} a_{n} a_{n} + a_{n} \exp\left\{-K_{n} \sum_{n=0}^{\infty} \left[ \frac{h}{2M\omega_{n}} e_{n} (b_{n} + b_{n}) \right], \quad (26)$$

где

$$d_{+} = \sum_{\alpha} \frac{q_{\alpha}}{m_{\alpha}} \left( \varepsilon \pi_{\alpha} \right) \int_{-\infty}^{\infty} e^{-i\varphi_{\alpha}} (e^{-i\varphi_{\alpha}}) e^{-i\varphi_{\alpha}} d\varphi_{\alpha}$$

a , a.— операторы рождения и уничтожения пуклонов (они подчи яются антикоммутационному соотношению для ферми-частиц a, a. = a.);  $q_a^a$ ,  $b_a$ — бозевские операторы рождения и уничтожения фононов решетки,  $e_a$ , коэффициенты, связывающие координаты ядер  $R_i$  с нормальными координатами решетки; a (a)— собственные функции ядра (резонансное ядро рассматривается в приближении модели оболочки учитывающей, в основном, одночастичное взаимодействие между нуклонами).

<sup>&</sup>quot; Учет коллективного взаимодействин нуклонов привел бы к значительному математическому усложиению задачи, но не измения бы существенно физического содержания результатов.

 $k_z$ —проекция импульса  $\gamma$ -лучей по направлении z (считается, что  $\gamma$ -лучи распространяются в кристалле по направлению z).

Формулу (1), после подставки в ней формулы (26) и испольювания известной формулы (5)

$$<|A, B|>=\lim_{n\to 0}\int_{\mathbb{R}^n} AB_{mn}-AB_{mn}-AB_{mn}|e^{-in}dw,$$

можно представить в следующем виде:

где *алаа,* фурье-образ двухчастичной т<mark>емп</mark>ер<mark>атур</mark>ной функин Грина:

$$e^{-2W} = \left| \left\langle \exp\left\{ -iK_z \sum_{\alpha,\beta} \sqrt{\frac{h}{2M\omega_{\alpha}}} e_{\alpha\beta} (b_{\alpha}^{+} + b_{\alpha}) \right\} \right\rangle^{2}$$
 (4)

Разлагая экспонент, входящий в формулу (4) в ряд и вычисляя коммутационные функции от бозегских операторов  $b_1$ ,  $b_2$ , лекто мож но показать, что

$$e^{-2w} = \exp\left\{-\frac{K_z^2 h}{2M}\sum_{n=0}^{\infty} \frac{(e_n)}{n}(1+2v_n)\right\}$$
 (4)

которая представляет собой хорошо известный фактор Дебая - Валлера в интенсивности линии  $\gamma$  - поглощения ( $v_z = \langle b_1^* b_z \rangle - (\exp \beta_{\omega_z} - 1)^{-1}$  число фононов типа z в кристалле).

3. Таким образом, вычисление коэффициента поглощения у кванта ядерной системой (3) свелось к вычислению фурье-образа двух-временной температурной функции Грипа. Последняя вычислена применительно к весьма общей форме гамильтониана спин-фононной связи, которую можно представить так:

$$H = \sum_{n} [-a \ a_{n} + \sum_{n} h_{0}, b_{n}^{+} b_{n} + \sum_{n} \sum_{n} B^{(1)}(v_{1}v')a^{+} a_{v'}(b^{+} + b_{n}) + \sum_{n} \sum_{n} B^{(1)}(v_{1}v')a^{+} a_{v}(b_{n}^{+} + b_{n}) + b_{n} + b_{n}$$

где Е. собственные значения энергии ядра, соответствующие функциям д. (р) — нумирует как разные ядерные состояния, так и их спиновые зеемановские или квадрупольные подуровни); hw. — энергия фонона типа а, (ч. ч') и в (ч. ч') — матричные элементы первых двух порядков спин-решеточного взаимодействия, они в общем случае имеют следующий вид:

$$B_{ab,...}^{(n)}(v, v') = \int_{\mathbb{R}^{n-n}} (s) B_{ab,...}^{(n)}(s) \varphi_{*}(s) ds,$$
 (5a)

пле — член и - го порядка в разложении потепциальной функции спин-фононного взаимодействия. Для конкретных типов взаимодействий (квадрупольное, дипольное и т. д.) коэффициенты  $\mathcal{B}(\cdot, \cdot')$  имеют конкретные выражения.

4. Составление цепочки уравнений для фурье—образа двухчастичной функции Грина, входящей в формулу (3) и его решение осуществлялось с номощью обычной процедуры применения теории возмущения для температурных функций Грина (5). При этом днагональные функции а а, а, а, а, соответствующие прямым переходам — и неднагональные функции а, а а, а, а соответствующие прямым переходам — ференции переходов между три или четыре уговнями вычислялись отдельно.

Так, папример, для них получились выражения:

$$e^{-i/2\pi I^{(a)}(E)} = \frac{i/2\pi I^{(a)}(E)}{E - E_{b'} + E_{b'} - M_{bb'}(E)}.$$
 (9a)

$$(2\pi I_{12}^{(n)}(E)) = \frac{L/2\pi I_{12}^{(n)}(E)}{[E - E_{n} + E_{n} - M_{n-1}(E)][E - E_{n} + E_{n} - M_{n-1}(E)]}.$$
(96)

где  $M_{\rm tot}(E)$  — массовый оператор для двухчастичной функции Грина, ныражение которой дано в работе ( $^8$ )

$$f^{(n)}(E) = (n_{x} - n_{y}) \exp \left\{ \frac{1}{(\hbar \omega_{x})^{2}} \left[ B_{x}^{(1)}(i_{y}i') - B_{x}^{(1)}(i_{y}, i_{y}) \right] (1 + 2v_{x}) \right\}.$$

$$f^{(n)}(E) = \sum_{x} \sum_{y} \left[ B_{x}^{(1)}(v_{y}, i_{y}) B_{x}^{(1)}(v_{y}, i_{y}) \delta_{xy} V_{x} (E - E_{yy}) + \right.$$

$$+ B_{x}^{(1)}(v_{y}, i_{y}) B_{x}^{(1)}(v_{y}, i_{y}) \delta_{yy} V_{y} (E - E_{xy}) + \left. - B_{x}^{(1)}(i_{y}, i_{y}) B_{x}^{(1)}(i_{y}, i_{y}) \delta_{yy} + V_{y} (E - E_{xy}) \right] (n_{y} - n_{y}) +$$

$$+ \sum_{x} \sum_{y} \left\{ \left[ B_{xx}^{(2)}(i_{y}', i_{y}) \delta_{yy} + B_{xx}^{(2)}(i_{y}', i_{y}) \delta_{yy} \right] (1 + 2v_{x}) + \right.$$

$$+ \left. \widetilde{B}_{xx}^{(2)}(v_{y}i_{y}') \widetilde{B}_{xx}^{(2)}(i_{y}, i_{y}') \delta_{yy} V_{xy} (E - E_{yy}) + \right.$$

$$+ \left. \widetilde{B}_{xx}^{(2)}(v_{y}i_{y}') \widetilde{B}_{xx}^{(2)}(i_{y}, i_{y}') \delta_{yy} V_{xy} (E - E_{yy}) + \right.$$

$$+ \left. \widetilde{B}_{xx}^{(2)}(v_{y}i_{y}') \widetilde{B}_{xx}^{(2)}(i_{y}, i_{y}') \delta_{yy} (E - E_{yy}) + V_{xy} (E - E_{yy}) \right] (n_{y} - n_{yy}) \right],$$

$$- \left. \widetilde{B}_{xx}^{(1)}(i_{y}, i_{y}') \widetilde{B}_{xx}^{(2)}(i_{y}, i_{y}') \widetilde{B}_{xx}^{(2)}(i_{y}, i_{y}') \widetilde{B}_{xx}^{(2)}(i_{y}, i_{y}') \widetilde{B}_{xy}^{(2)}(i_{y}, i_{y}') \widetilde{B}_{xx}^{(2)}(i_{y}, i_{y}') \widetilde{B}_{xx$$

где введены обозначения:

$$\begin{split} E_{vv'} &= E_v - E_{v'}, \\ \widetilde{B}_{u,j}^{(2)}(v, v') &= B_{u,j}^{(2)}(v, v') + \\ &+ \sum_{p} B_{u}^{(0)}(v, p) B_{j}^{(0)}(p, v') \left( \frac{1}{E_{vv} - \hbar \omega_{u}} + \frac{1}{E_{v'v} + \hbar \omega_{v}} \right). \end{split}$$

$$V_{\alpha}(E) = \frac{1+v_{\alpha}}{E-h(\omega_{\alpha})} - \frac{v_{\alpha}}{E+h(\omega_{\alpha})}, \quad V_{\alpha}(E) = -V_{\alpha}(-E),$$

$$V_{\alpha}(E) = \frac{(1+v_{\alpha})(1+v_{\alpha})}{E-h(\omega_{\alpha}+\omega_{\alpha})} + \frac{v_{\alpha}v_{\alpha}}{E+h(\omega_{\alpha}+\omega_{\alpha})} + \frac{2v_{\alpha}(1+v_{\alpha})}{E+h(\omega_{\alpha}-\omega_{\alpha})}$$

$$V_{\alpha\beta}(E) = -V_{\alpha\beta}(-E).$$

Подставляя выражения для двухнуклопной функции Грина (9a) и (9б) в формулу (3) для коэффициента чисто ядерного поглощения в области частот  $E \approx E - E$  получаем выражение, которое имеет вид Лоренцовой кривоп:

$$\sigma(w) = C + \sum_{i,k} \frac{|d_{k}|^{2} (n_{k} - n_{k})e^{-\frac{i\pi}{2}} + |I_{i,k}^{ag}| \Gamma_{i,k}}{[\omega - E_{k} - E_{k} - \Delta E_{k}]^{2} + |\Gamma_{i,k}|^{2}}.$$
 (11)

Как и следовало ожидать, линия поглощения состоит из нескольких мультиплетов, число которых в общем случае равно  $N=(2I_1+1)$  (где  $I_1$  и  $I_2$ —соответствению значения спина ядра в основном и возбужденном состояниях). Среди них могут быть запрещенные (в дипольном приближении) линии, имеющие малый ф. Максимальное число мультиплетов получается в случае зееманского расщепления ядерных уровней во внешнем (или внутреннем локальном) магнитном поле. В случае чисто квадрупольного взаимодействия, число мультиплетов уменьшается, поскольку спиновое вырождение ядерных уровней полностью не снимается.

Для сдвига (ΔΕ, ) и ширины (Г) линии получались выражения (9, 10):

$$\Delta E_{\lambda\lambda'} = \Delta E_{\lambda'} - \Delta E_{\lambda'}, \qquad (11a)$$

$$\Gamma_{\lambda\lambda'} = \gamma_{\lambda'} + \gamma_{\lambda'},$$

где

$$\Delta E_{k} = \sum |B^{(1)}(v_{s}, h)|^{2} \left(\frac{1+v_{w}}{E_{k} - h\omega_{a}} + \frac{v_{w}}{E_{k} + h\omega_{a}}\right) +$$

$$+ \sum |B^{(2)}(v_{s})|^{2} \left[\frac{(1+v_{s})(1+v_{s})}{E_{k} - h(\omega_{a} + \omega_{b})} + \frac{v_{w}v_{s}}{E_{k} + h(\omega_{a} + \omega_{a})} + \frac{2v_{s}(1+v_{s})}{E_{\gamma s} + h(\omega_{w} - \omega_{s})}\right]$$

$$(12)$$

Формула для ширины ядерного уровня , получается из формулы (12) для сдвига заменой дроби типа  $(\mathbf{E} \pm \hbar \omega)^{-1}$  выражением  $\kappa(\mathbf{E} \pm \hbar \omega)$ .

В числителе формулы (11) для вероятности поглощения помимо члена  $e^{-2\pi}$  (10a), который по внешнему виду совпадает с фактором Дебая-Валлера (4), фигурирует также член представляющий собой вклад интерференции переходов между ядерными спиновыми подуровнями основного и возбужденного состояний (имеющие почти одинаковую частоту) на интенсивность линии рассматриваемого перехода и . Легко показать, что:

$$I_{i\lambda}^{(n)} = I_{i\lambda}^{(0)} + I_{i\lambda}^{(0)}, \tag{13}$$

$$I_{(\lambda)}^{(1)} = \frac{1}{d_{\lambda+}(\bar{n}_{\lambda} - \bar{n}_{\lambda})} \sum_{n} \sum_{n} \left[ \left| \frac{B_{n}^{(2)}(v_{n}, i')d_{n}}{E_{\lambda} - E_{n}} (\bar{n}_{\lambda} - \bar{n}_{n}) - \frac{B_{n}^{(2)}(v_{\lambda}, i)d_{\lambda}}{E_{\lambda} - E_{n}} (\bar{n}_{\lambda} - \bar{n}_{\lambda}) \right] \times \left[ (1 + 2v_{n}) + \frac{\bar{n}_{\lambda} - \bar{n}_{\lambda}}{E_{\lambda} - E_{n}} B_{n}^{(1)}(v'_{\lambda}, i')B_{n}^{(1)}(v_{\lambda}, v')d_{\lambda\lambda}V_{n}(E_{\lambda'\nu'}) + \frac{\bar{n}_{\lambda} - \bar{n}_{\lambda'}}{E_{\lambda} - E_{\lambda}} B_{n}^{(1)}(v'_{\lambda}, i)B_{n}^{(1)}(v'_{\lambda}, i')B_{n}^{(1)}(v_{\lambda}, v')d_{\lambda\lambda}V_{n}(E_{\lambda'\nu'}) - V_{n}(E_{\lambda}) \right] \right], \qquad (13a)$$

$$I_{(\lambda)}^{(2)} = \frac{1}{d_{\lambda\lambda}} \frac{1}{(\bar{n}_{\lambda} - \bar{n}_{\lambda'})} \sum_{n,k} \sum_{v,k} \left\{ \frac{1}{E_{\lambda',k}} + \tilde{B}_{n,k}^{(2)}(v'_{\lambda}, i')\tilde{B}_{n,k}^{(2)}(v_{\lambda'}, i')\tilde{B}_{n,k}^{(2)}(v_{\lambda'}, v')d_{\lambda\lambda}(\bar{n}_{\lambda} - \bar{n}_{\lambda}) V_{n,k}(E_{\lambda',k}) - \frac{1}{E_{\lambda',k}} B_{n,k}^{(2)}(v_{\lambda}, i)\tilde{B}_{n,k}^{(2)}(v_{\lambda'}, i')\tilde{B}_{n,k}^{(2)}(v_{\lambda'}, i')\tilde{B}_{n,k}^{(2)}(v_{\lambda'},$$

Происхождение вышеуказанных членов (13а,б) в выражении для интенсивности линий ядерного поглощения, можно объяснить тем, что в ядерной системе помимо рассматриваемого перехода (на частоте  $E_{x}-E_{x}$ ) существуют переходы  $k\to y$  (на частотах  $E_{y}-E_{y}$ ). Энергетическая разность между этими переходами соизмерима с энергией фононов решетки. При наличии спин-решеточного взаимодействия, это приводит к обмену фононов между спин системой и решеткой и, следовательно, к интерференции вышеуказанных переходов. Поскольку энергетическая разность между ядерными подуровнями слишком мала, в сравнении с энергией  $\gamma$  кванта  $\left(\frac{\Delta E}{E_{\lambda}} \approx 10^{-12}\right)$ , то ожидать эффективного изменения интенсивности ядерного поглощения за счет интерференционного смешивания переходов. Такой механизм обмена фононов между спин системой и решеткой приводит также к изменению положения и ширины линий (фор. (10) и (11)). В случае, котна выполняется условие Е. - Е. - Аш. (аналогично условию адиабатичности в электронно-колебательных системах), вклад вышеуказанных г. н. "неаднабатических" членов в положение, ширину и интенсивность. как нетрудно увидеть из соответствующих формул (Ю), (П) и (Б) стремится к нулю.

Институт физических исследований Академии наук Армянской ССР

### Միջուկների սպիճային սիստեմի կողմից <sub>Դ</sub>-Րվանտների <mark>կլանման</mark> տեսության շուրջը

Ուսումնասիրված է սպին-ֆոնոնային փոխազդեցուիյան ազդեցուիյունը, ինտենարվուիյուն) վրա։ Վերուիշյալ սպեկտրային բնուիադրերի համար, ընդ-անուր սպին-ցանց փոխազդեցուիյան դեպքում ստացված են բանաձևեր, որոնք կախված են սպին-ֆոնոնային մատրիցական էլեմենտների մեծուիյուններից և միջուկի ու ցանցի էներդետիկ սպեկտրներից։

Հաշվումները կատարված են Դրինի երկժամանակային չերմ<mark>աստիճանա</mark>․ յին ֆունկցիաների մեքիողով։

#### ЛИТЕРАТУРА— ЧЕПЧИБПЕРЗЯБЪ

1 В. С. Шпинель, Резонанс гамма лучей в кристаллах, М., 1969. <sup>1</sup> Ю. Каган, ЖЭТФ, 47, 366 (1964) <sup>1</sup> А. А. Абрагам. Я терный магнетизм, М., 1963. <sup>4</sup> R. Киво, J. Phys. Soc. Japan. 12, 570. (1957) <sup>5</sup> В. Л. Бонч-Бруевич, С. В Тяблик в. Метод функций Грина в статистической механике, М., 1962. <sup>6</sup> К Nish:kawa, R. Barric, Canad. Jour. of Phys. 41. 1135 (1963) <sup>2</sup> А. Р. Кессель. Ядерный акустический резонанс, М., 1969. <sup>4</sup> Ф П Сафарям. К теории электронно колебательных спектров многоатомных молекул и молекулярных кристаллов. Диссертация. Ереван. (1971). <sup>8</sup> Ф. П. Сафарям. Л. Л. Крушинский. «Известия АН Армянской ССР», серия филическая, т. 5, 183 (1970). <sup>10</sup> Ф П Сафарям. Л. Л. Крушинский, Ученые записки ЕГУ № 2, 18 (1970).

LV 1972 3

VIK 535. 375

ФИЗИКА

#### А. О. Меликян

Некогерентное резонансное рассеяние интенсивной световой волны на атоме с однородно уширенной линией поглощения

(Представлено чл - корр. АН Армянской ССР М. Л. Тер-Микаеляном 21/111 1972)

В работе (¹) были вычислены сечения релеевского и комбинационного рассеяний интенсивной монохроматической волны на атоме При этом предполагалось, что атомные уровни не уширены. Если длительность рассенваемого импульса порядка или больше времен релаксации, уширение необходимо учитывать Это можно сделать, воспользовавшись уравнениями для матрицы плотности, куда феноменологически вводятся константы релаксации (см. например (²) ). Однако, поскольку обоснование релаксационных членон в случае, когда атом находится в интенсивном поле, отсутствует, мы воспользуемся аднабатической моделью уширения, впервые примененной в (²) для описания формы линии поглощения в случае слабого поля.

Гамильтониан рассматриваемой системы имеет следующий вид

$$H = \pi^{-}V + \pi^{-}V^{n} + hu(t)\pi^{+}\pi^{-} + h\pi^{+}\sum_{k}\beta_{k}^{*}e^{-h_{k}t}c_{k} + h\pi^{-}\sum_{k}\beta_{k}e^{h_{k}t}c_{k}^{+}; \tag{1}$$

$$V = -\frac{1}{2} (Ed)e^{-i\omega}, \quad \varepsilon = \omega - \omega_0, \quad \varepsilon_k = \omega_k - \omega_0.$$

Здесь и э матрицы Паули, E—амплитуда напряженности монохроматической световой волны с частотой w,  $w_0$ —резонансная частота атома, d—дипольный матричный элемент перехода, e и  $e_k^+$ —операторы уничтожения и рождения фотонов рассеянного поля,  $\mathfrak{I}_k$  матричный элемент, нормированный таким образом, что величина

$$W = 2\pi \sum_{k} |\beta_k|^2 \delta(\omega_k - \omega_0) \tag{2}$$

представляет собой естественную ширину линии. Функция u(t) описывает переменную добавку к  $\omega_0$  из-за Штарк-эффекта в кристаллическом поле. Волновую функцию системы ищем в виде

$$\Phi = (A\chi^{-} + B\chi^{+})|0\rangle + \sum_{k} (A_{k}\chi^{-} + B_{k}\chi^{+})|1_{k}\rangle, \tag{3}$$

тде д и д —синноры, соответствующие атому в основном и возбуж) денном состояниях. Кроме того, использованы принятые обозначения для состояний квантованного поля излучения. Нас интересуют величины

$$\overline{\langle c_k \rangle} = \overline{\Phi^+ c_k \Phi} = \overline{A^* A_k} + \overline{B^* B_k},$$

$$\overline{\langle c_k \rangle} = \overline{\Phi^- c_k^- c_k \Phi} = \overline{|A_k|^2} + |B_k|^2.$$
(1)

Черта означает усреднение по всевозможным реализациям случайной функции u(t). Остановимся на ее свойствах. Разложим u(t) в ряд Фурье в промежутке  $\frac{T}{-}$ 

$$u(t) = \frac{1}{\sqrt{T}} \sum_{n} u_n \sin(2nt + \gamma_n). \tag{5}$$

Будем считать, что фазы  $\varphi_n$  распределены однородно. Относительно амплитуд  $\mu_n$  предположим лишь, что интегралы вида

$$\frac{1}{T} \sum_{n} \overline{u_n^{2m}} \to \int \overline{u^{2m}(2)} \frac{d2}{2\pi}, \quad m = 1, 2 \dots$$
 (6)

сходятся. Определим корреляционную функцию

$$\overline{u(t')}\overline{u(t)} = G(t'-t). \tag{7}$$

Время корреляции — характеризующее ширину спектра функции u(t) должно удовлетворять условию адиабатичности =  $\frac{1}{t} - \omega_0$ . С другой стороны, примем, что — много меньше всех характерных времен в системе. Тогда — можно приближенно заменить на  $\frac{\Gamma}{2} \circ (t'-t)$ , гле  $\Gamma$  есть ширина линии поглощения в случае слабого поля. При сделанных допущениях можно получить точное уравнение для мат-

$$\dot{q}_{22} - \dot{q}_{11} = -\frac{2i}{\hbar} \left( V \rho_{21} - V - \dot{q}_{11} \right) \quad \rho_{11} + \rho_{22} = 1,$$

$$\dot{c}_{21} - \frac{i}{\hbar} V^{2} \left( \rho_{21} - \rho_{11} \right) - \frac{1}{2} \left( \rho_{21}, \quad \rho_{12} = \rho_{21}, \quad (8)$$

рицы плотности атома

$$\frac{dn(w_k)}{dtdw_k} = \frac{W'}{2\pi\Gamma} f(x, w) dw_k = \frac{W'}{2\pi\Gamma} + \frac{1}{2\pi\Gamma} + \frac{1}$$

51.7

$$x = 4\Gamma^{-2}(\omega_k - \omega)^2$$
  $\mu = 16|V|^2\Gamma^{-2} = 4\Gamma^{-1}\sigma_0I$ 

опремения в резонансе, / поток падающих фотонов. В пределе и 1 имеем

$$I = \frac{1}{2} \frac{\Gamma^2}{(\omega_k - \omega)^2 + \frac{1}{4} \Gamma^2} \tag{10}$$

что соответствует интенсивности обычной люминесценции с коэффиниентом  $\frac{1}{2}$  т. к. при равновесии лишь половина атомов находится в возбужденном состоянии. При ч 1 имеем

$$f = \frac{1}{4} \frac{\Gamma^{2}}{(\omega_{k} - \omega)^{2} + \frac{1}{4} \Gamma^{2}} + \frac{1}{8} \frac{\Gamma^{2}}{(\omega_{k} - \omega + \frac{2}{h} |V|)^{2} + \frac{1}{16} \Gamma^{2}} + \frac{1}{8} \frac{\Gamma^{2}}{(\omega_{k} - \omega - \frac{2}{h} |V|)^{2} + \frac{1}{16} \Gamma^{2}}.$$
(11)

Интересно отметить, что линии, сдвинутые из-за эффекта интенсивности (см. (1)), имеют ширину вдвое меньшую, чем центральная В общем случае анализ функции f(x, u) показывает, что при u = 1 в спектре имеются два симметричных относительно w максимума, которые в пределе  $u \to 0$  сливаются (формула (10)). С ростом u они разнигаются, и при u = 1 появляется максимум на частоте w.

В заключение выражаю благодарность чл.-корр. АН Армянской ССР М. Л. Тер-Микаеляну за обсуждения.

Институт физических исследований Академии наук Армянской ССР

#### II. 2 Ifbloeship

ինտենսիվ լուսային այեն ոչ կոներենտ ռեզոնանսային ցշումը ճամասնոռյեն այնային վլանման գծով ատոմի վրա

Ատոմական Հաճախութ ատոմի ատությացիա ի մողելի հետևեսիվ լուսային դաշտում ատոմի խտության են ւա ասարումներ

#### JHTEPATYPA-SCHULLEPPAREL

<sup>1</sup> М. Л. Тер-Микаелян, А. О. Меликан, ЖЭТФ, 58, 281, 1970 <sup>2</sup> А. Л. Микаелян Ч. Л. Гер-Микаелян, Ю. Г. Турков, Оптические генераторы на твердом теле, Радно, 1917.

<sup>1</sup> И. Андеглон, Р. R. Weiss, Rev. Mod. Phys., 25, 269, (1953).

LV 1972 3

■ДК 530 1

**ФИЗНКА** 

#### P. C. Orannian

# О существовании нового типа равновесных вращающихся эллипсоидов при наличим торондального магиитного поля

Представлено ча-корр. АН Арминской ССР Г С Саакином 29,111 19721

Рассмотрям возможность существования вращающих фигур равночесия самогравитирующих проводящих жидких масс при наличии внутремних магнитных полей типа торондальных. Уравнение равновесия космической самогравитирующей плазмы при наличии магнитного поля (в предположении, что вращение твердотельное) определяется системон уравнении магнитной гидродинамика и гравитационного поля

$$\frac{1}{9} \neg P - \neg V \quad \left\{ \left[ \vec{a} - \vec{c} \right] - \left[ + \frac{1}{4\pi \sigma} \left[ \operatorname{rvt} \vec{B} - \vec{B} \right] \right] \right\}$$

$$P \quad P(\sigma); \quad \nabla^2 V = 4\pi G \sigma$$

Принимая, что в const н

$$\left[\left(\widetilde{w}\times\widetilde{r}\right)\times\widetilde{w}\right] = \nabla\left(\frac{1}{2}\,w^{2}\,r^{2}\,\sin^{2}\Theta\right). \tag{2}$$

из (1)-го уравнения системы (1), получаем (1):

$$\operatorname{rot}\left(\frac{|\operatorname{rot} H \times B|}{2}\right) = 0. \tag{3}$$

Это уравнение дает позможность определить структуру силового магнитного поля, оказывающего существенное влияние на равновесие самогравитирующей системы Предполагая, как и в работе (1), что чагнитное поле обладает тороидальной структурой В (0, 0, В), на (3) получаем

$$\frac{1}{B} = \frac{f(\rho r^2 \sin^2 \Theta)}{r \sin \Theta} = \frac{1}{\rho r \sin \Theta}$$
 (1)

(, некоторая постоянная).

Член магнитного взаимодействия с учетом (4) примет вил:

$$\frac{1}{p} \left\{ \cot B \mid B \right\} = -\gamma^2 \nabla (pr^2 \sin^2 \theta).$$

Тогда из системы (1) получаем:

$$\frac{1}{\alpha} \nabla P = \nabla W,$$

гле

$$W(x, y, z) = V(x, y, z) + \left(\frac{1}{2} - \frac{1}{4\pi}\right)(x^2 + y^2). \tag{5}$$

Представим уравнение поверхности эллинсоида, вращающегося вокруг осн z, с одной стороны как

$$\frac{x^2}{a^2} + \frac{y^2}{b^2} + \frac{z^2}{c^2} = 1,\tag{6}$$

а с другой как уровенную поверхность равновесной фигуры (2)

$$V(x, y, z) + \left(\frac{\omega^2}{2} - \gamma^2 \frac{g}{4\pi}\right)(x^2 + y^2) = \text{const.}$$
 (7)

Имея в виду, что

$$V(x, y, z) = \text{const} - A_1 - A_2 y^2 - A_3 z^2$$

$$A_1 = \pi G c a b c \int_0^1 \frac{ds}{(a^2 + s)\Delta},$$

$$A_2 = \pi G c a b c \int_0^{\infty} \frac{ds}{(b^2 + s)\Delta},$$

$$A = \pi G c a b c \int_0^{\infty} \frac{ds}{(c^2 + s)\Delta},$$

$$\Delta = [(a^2 + s)(b^2 + s)(c^2 + s)]^{-1}.$$
(8)

Уравнение (7) можно представить в виде

$$\left(A_{1} - \frac{\sigma}{2} + \frac{\rho}{4\pi}\right) + \left(A_{2} - \frac{\sigma}{2} + \frac{\rho}{4\pi}\right)y^{2} + A_{3}z = \text{const},$$

отождествляя которое с (6), находим:

$$a^{2}\left(A_{1}-\frac{\omega^{2}}{2}+\gamma^{2}\frac{\rho}{4\pi}\right)=b^{2}\left(A_{2}-\frac{\omega^{2}}{2}+\gamma^{2}\frac{\rho}{4\pi}\right)=c^{2}A_{3} \tag{9}$$

Эти уравнения устанавливают связь между параметрами равновесного вращающегося эллипсоида с угловой скоростью — и магнитным полем:

$$= \int_{0}^{\infty} \frac{u(1-u)xdx}{(1+x)(1+ux)D} \qquad = \int_{0}^{\infty} \frac{v(1-v)xdx}{(1+x)(1+vx)D}. \tag{10}$$

$$\Omega = \frac{-\omega^2}{2\pi G \rho} - \frac{\gamma^2}{4\pi^2 G}$$
(11)

$$u = c^2/a^2$$
,  $v = c^2/b^2$ ,  $s = c^2x$ ,  $D = \sqrt{(1 + x)(1 + ux)(1 + vx)}$ .

пз (10) также получаем:

$$(u-v)\int_{0}^{\infty} (1-u-v-uvx)\frac{xdx}{dx} = 0.$$
 (12)

Этим уравнением определяется то условие, при котором рассматриваемый эллипсоид является фигурой равновесия,

Рассмотрим вопрос существования эллипсоида врашения типа Маклорена [a=b, (u=v)] в присутствии магнитного поля типа (4):

$$B = B_n \left(\frac{r}{a}\right) \sin^2 \Theta_n$$

где  $B_0 = \gamma a \gamma$ — напряженность магнитного поля на экваторе.

Если по формуле (11) параметр  $\Omega$  окажется больше нуля ( $\Omega > 0$ ), что имеет место, когла

$$B < B_0 = a \cdot o + 2 = a, \tag{13}$$

то из (10) следует, что u < 1 т. е. a = b > c.

Следовательно, при  $B_0 < B_c$  имеем эллипсондальные вращающиеся фигуры равновесия типа Маклорена, лишь с той разницей, что предельное значение угловатой скорости увеличивается с увеличением магнитного поля (2)

$$\omega_{\rm up} = 2\pi G \left( 0.2267 + \frac{B_0^2}{4\pi G} \right)$$

Если по формуле (11) окажется 9<0, что имеет место при  $B_0>B_c$ , то из (10) следует существование нового типа эллипсоидов вращения, как фигур равновесия, у которых u>1 или a-b<c. Эти эллипсоиды вытянуты вдоль оси вращения. С ростом напряженности магнитного поля вытянутость увеличивается. Существенно отметить, что без магнитного поля, существование этих вытянутых вдоль оси вращения эллипсоидов исключаются. Автор благодарит Г. С. Саакяна за обсуждение полученных результатов на теоретическом семинаре.

Ереванский государственный университет Տուոիդալ մագնիսական դաշտի նեւկայությամբ նու տիպի պոտվող ճավասաբակչոված էլիպսոիդային ձևեւի գոյության մասին

Դիտարկվում է ինքնագրավիտացվող հնղուկ հաղորդիչ գանգվածից բայ կացած պտտվող հավասարակչոված ձևնրի գոյության հարցնրը տորոիդա մագնիսական դաշտնրի ննրկայությամբ։ Ապացուցվում է, որ Մակլնրոն տիպի էլիպսոիդալ ձևնրը (a = b ) մագնիսական դաշտի ներկայությամբ կա րող են ձգվել պտտման առանցքի երկարությամբ (a = b < c)։ Չգման պրոցնա սկսվում է այն ժամանակ, նրբ մագնիսական դաշտի լարվածությունը գնրա գանցում է որոշ կրիտիկական արժնքից՝ կախված անկյունային արագություն ից, կիսաառանցքի (a) մնծությունից և խտությունից։ Համեմատաբար ու և մագնիսական դաշտնրի ննրկայությամբ էլիպսոիդն ավնլի շատ է ձգվու առանցքի երկարությամբ, վերածվելում գյանայինին մոտ կոնֆիգուրացիայի։

#### ЛИТЕРАТУРА — ЧЕЦЬЦЬ ПЪРВЯВЪ

<sup>2</sup> W. Raxburgh and B R Durney. Montely Notices of the Royal Astronomical Society vol. 135 № 3 (329—337). 1967. <sup>2</sup> 11 Аппелль. Фигуры равновесия врашоющейся однородной жидкости, ОНТИ, М., 1936.

LV 1972 3

3 IK 536 531

ФИЗИКА

#### Т. С. Золян

# Нелинейность вольтамперных характеристик на границе жидкого полупроводника с металлом

(Представлено чл.-корр. АН Армянской ССР Г М Авитичнем 7 IV 1972)

Исследование электрофизических свойств высших окислов ванадия при высоких температурах показало наличие реверса гипа проводимости в жидком состоянии (1).

На рис. 1 показан график изменения термсэдс-2— пяткокиси ванадия —  $V_2O_5$ , свидетельствующий об изменении электронной проводимости (п-тип) на дырочную проводимость (р-тип) выше  $T_{ns}$  —температуры плавления  $V_2O_5$ —668 С ( $^2$ ).

Инверсия знака термоэдс, соответствует преобладанию дырочной или электронной проводимости и характеризуется то или пересечения кривых термоэдс с наклоном  $\frac{1}{2} = u = \frac{dz}{dz}$  с осью абсцисс, указывая на наличие в жидком состоянии устойчивой области р-типа с температурой выше  $T_0$ , почти на 100 С.

Наличие такой области представляет интерес с точки зрения попытки получения своеобразного р-и перехода в жидком полупроводнике и рассмотрения его вольтамперных характеристик—ВАХ—наряду с выпрямляющими свойствами запорного слоя образуемого контактирующими электродами с новерхностью жидкого полупроводника(1-1).

Для экспериментального осуществления такой полытки жидкий полупроводник типа расплавленной иятновиси вападия—V<sub>2</sub>O<sub>5</sub>, расположенный на платиго юй подложке, играющей роль невыпрямляющего, омического контакта, подогревается специальной печью для поддержания требусм ій температуры расплава. Контактирующий электрод выде проволоки из Pt, W или Та и т. и. приводился в соприкосновение с поверхностью жидкого полупроводника. Все устройство нахолилось в обычной атмосфере воздуха или продупалось слабым потоком кислорода. Температура проведения эксперимента около 1000°К.

Одна из типичных статических вольтамперных характеристик контакта, сиятых при издеоединения к стандартной измерительной схеме (в) полученного устройства при 7—1000 К, показана на рис. 2.

Однотипные с представленной для данной температуры ВАХ мо в было наблюдать многократно, как в течение длительной выдержитемпературы, так и при периодическом нагреве и охлаждении рас плана

График представленный на рис. 2 явно демонстрирует не п

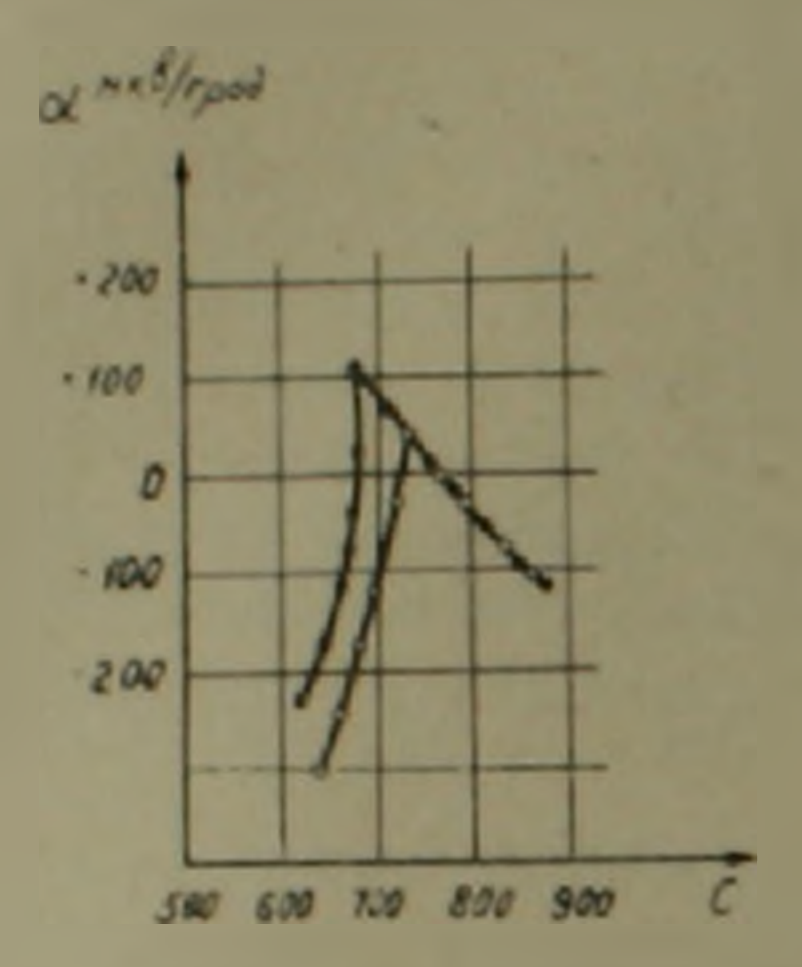


Рис 1. Зависимость знака и величины термоэде питнокием ванавия в зависимости от температуры. Черные точки озлаждение, светлые -нагрев

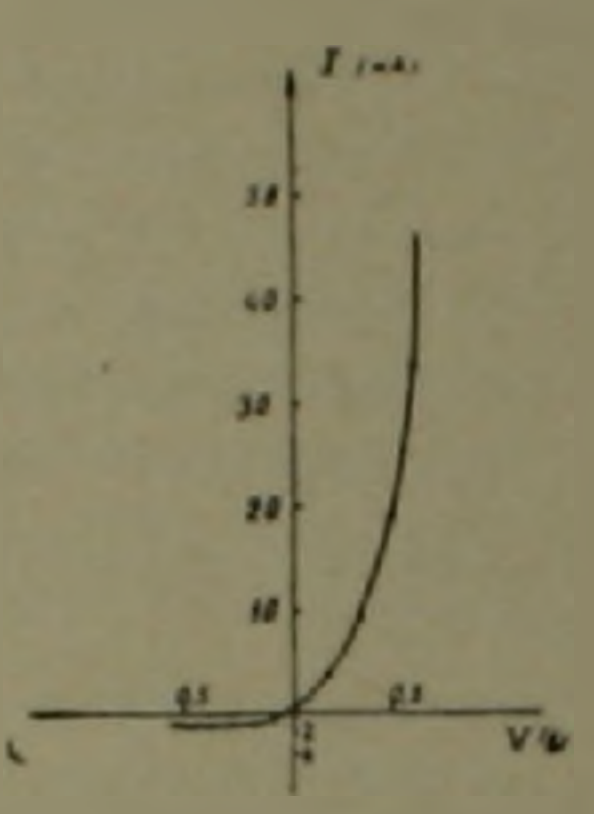


Рис 2. Вольтампериая характеристика монтакта распава пятнокиси ванамия с металлом при 1000 К в атмосфере воздуха

нейный, униполярный характер проводимости контакта металл - жидкий полупроводник, для прямой и обратной ветви, характерный для выпрямляющих устройств.

Сила тока через переход растет по экспоненте и уже при небольпоих напряжениях коэффициент выпрямления K характеризуемый отпошением тока в прямой ветви  $I_0$ :  $K = I_0 / I_1$ достигает величины 60 70, характерной для наиболее высокотемперат. рных диодных выпрямителей на  $TiC_1$ , работающих до 250  $C_1$ :

Полученная ВАХ хорошо впроксимируется выражением типа  $I_0 = I_0$  (  $\exp \frac{1}{2\pi i} - 1$  ), а в координатах  $\ln I_0 = \frac{1}{2\pi i}$  представляет

прямую на которую хорошо ложатся экспериментальные точки. Величина А. близка по порядку к единице, что позволяет наряду с указанной ныше инверсией и (изменений типа проводимости) говорить об имеющем место свреобразном р-п переходе (в).

Интересно отметить, что контакт в твердом состоянии не проявляет выпрямляющих свойств и ВАХ перехода линейна, также как и ВАХ эталонных омических сопротивлений, на которых проверялась измерительная схема,

Ин титут раднофизики и электроники Академии наук Армянской ССР

### Վոլտամպետային բնուրագծի ոչ դծային բնուլթը. ճեղուկ կիսանադույիցի և մետաղի սահմանում

Դիտվում են վոլտ-ամպերային թնուիագծերն արսիդային, վանանդիումի պենտոթսիդի տիպի հեղուկ կիսահազորդիչի սահմանում, երբ ունենք նրա Հետ ժետաղային միացում՝ ոդի առկայության դեպքում, 1000 է չերմաստիճանի գեպքում։

ծույց է տրված, որ վոլտ-ամպերային թնութացձերը լավ են ապրոթսիդացվում ոչ գծային էքսպոնենցիալ կախվածությամբ՝ ուղիզ և հակառակ հոսանըև թի միջև ունենալով 60—10 ուղղման գործակից։

#### JULE PATYPA - SPULLEOPPSOFE

7 С. Золян, 1 Р. Разган 111 п. 1520, 1964 2 7 Milersma R Hadim T N Kinnedy a J D. Machinzle J. Chem. Phys. 46, 151 (1967) 3 G. 11. 1 Ganthewill, H U. Kanze Phys. Letters, A 33, 2, 61 (1970). 4 А Амареев. М Матаказиев А Р. Регель, ФТП, 5, 2187(1971). 3 Г. С. Золян, Материалы вопещания по твлени м переноса в электронных расплавах, Л., 1971. 4 Г. К. Кримен Заектриные измерения и измерение паракетров полупроводинковых прибиров Лим. Вза. Высшая школа, 1969. 1. Ф Городецкий, 1 Ф. Крименко, Полупроводиные ориборы., Изл., Высшая школа М. 1967. 4 С. И. Городецкий В В. Лашагиан, ФП, 6, 168, 1972.

УДК 621 311

**SHEPTETHKA** 

Чтен корреспондент АН Армянской ССР Г. Т. Адонц

# Уравнения влектрических режимов энергосистемы, основанные на гибридных матрицах

(Представлено 20/IV 1972)

Уравнения режима многополюсника (1), представляемого У или Z нараметрами имеют следующий вид.

$$|Y_{mk}| \cdot |U_k e^{j\gamma_k}| = \left| \frac{1}{U_m} (P_m - Q_m) e^{j\gamma_m} \right|$$
 (1)

$$|Z_{mk}| \left| \frac{1}{U_b} (P_k - jQ_k) e^{i\gamma_k} \right| = |U_m e^{i\beta_m}|, \tag{2}$$

где m.k = 1 - n = r - n - nадексы генераторных (c = 1 - r) и нагрузочиных (s = r + 1 - r + n) узлов системы.

Расчеты режимов (2) системы сводятся или, к определению модулей U к фаз в комплексных инпряжений по заданным активным P и реактивным — Q мощностям узлов, или к определению: фаз напряжений всех узлов, реактивных мощностей  $Q_c$  — генераторных узлов, модулей напряжений  $U_s$  —нагрузочных узлов по заданным: P — всех узлов,  $Q_s$  —нагрузочных узлов и  $U_c$  —генераторных узлов.

В обенх постановках задачи системы (1) и (2) оказываются нелинейными и могут быть решены только итерационными методами.

Настоящая статья посвящена составам уравнений режимов, основанных на новых трех типах гибридных матриц, получаемых на базе матриц [Z] и [Y]. Использование уравнений с гибридными () матрицами позволит преодолеть недостатки расчетов, основанных на матрицах [Y] или [Z]. Как известно, к недостаткам расчетов го уравнениям с [Y] относится то, что в ряде случаев итерации оказываются расходящимися или сходящимися к физически нереализуемым решениям.

Постановка задачи. Задаются: матрицы  $\{Y_{mk}\}$  или  $\{Z_{mk}\}$  параметров многополюсника с m,k=1+n независимыми узлами; активные мощности  $P_c,P_n$ , реактивные мощности  $Q_s$ , а также модули напряжений  $U_c$  или реактивные мощности  $Q_s$  генераторных (c=1-r) и нагрузочных (s=r+1+r+n) узлов.

Требуется определить структуру уравнений для расчетов следумим параметров электрических режимов энергосистемы: модули
напряжений  $U_s$ , фазы комплексных напряжений  $v_c$  и  $v_s$  рса тивные
мощности  $Q_c$  или напряжения  $U_c$ .

Элементы матриц коэффициентов этих уравнений должны быть получены из элементов матриц |Y| или |Z| уравнений (1) и (2)

Исходные уравнения (1) и (2) с учетом условий сформулировзиной задачи могут быть записаны в следую цей форме.

$$\begin{vmatrix} |Y_{cc}||Y_{cs}| & |U_{ce}| & | & |U_{ce}| & |$$

$$\begin{bmatrix} |Z_{cc}| & |Z_{cs}| \\ |Z_{sc}| & |Z_{ss}| \end{bmatrix} = \begin{bmatrix} \frac{1}{U_c} (P_c - jQ_c)e^{\mu_c} \\ \frac{1}{U_s} (P_s - jQ_s)e^{\mu_s} \end{bmatrix} = \begin{bmatrix} |U_ce^{\mu_c}| \\ |U_se^{\mu_s}| \end{bmatrix}$$

$$(4)$$

где  $[Y_{cc}]$ ,  $[Y_{cs}]$ ,  $[Y_{sc}]$ ,  $[Y_{ss}]$  — подматрицы узловых проводимостей невивисимых генераторных (c) и нагрузочных (s) узлов многополюсника с r [- и независимыми узлами,  $[Z_{cc}]$ ,  $[Z_{cs}]$ ,  $[Z_{sc}]$ ,  $[Z_{ss}]$  — подматрины узловых сопротивлений тех же независимых узлов многополюсника;

[U<sub>c</sub>el<sup>s</sup>c ], [U<sub>selse</sub>], —вектора комплексных напряжений тех же узлов чногополюсника;

$$\left|\frac{1}{U_c}(P_c-jQ_c)e^{jz_s}\right|, \quad \left|\frac{1}{U_s}(P_s-jQ_s)e^{jz_s}\right|$$
 — вектора сопряженных ком-

плексных токов генераторных и нагрузочных ветвей многополюсника; На основе уравнений (3) и (4) могут быть получены следующие четыре структурно различные уравнения, элементы матриц коэффициентов которых будут содержать как сопротивления, так и проводичости. Для таких матриц принимается название «гибридных и обозчачение [Н<sub>тк</sub>], где т, k == 1 и + г индексы независимых узлов много-полюсника.

1. Уравнения с гибридной мэтрицей  $|H_{mk}^{l}|$  получаются путем преобразований исходных уравнений (3) и могут быть представлены в медующей записи.

$$||Y_{cc}||^{2} - |Y_{cc}||^{2} ||Y_{cs}|| = ||Y_{cc}||^{2} ||Y_{cc}||^{2} \cdot ||Y_{cc}||^{2} \cdot ||Y_{cc}||^{2} \cdot ||Y_{cc}||^{2} \cdot ||Y_{cc}||^{2} \cdot ||Y_{cc}||^{2} \cdot ||Y_{cs}||,$$
(5)

верхний интекс 1 означает операцию обращения матрицы. На (5) видно, что наибольшее число вычислительных операции для получения матрицы  $[H_{mh}^{-1}]$  определяется обращением подматрицы  $[Y_{ct}]$ . Оди жо этот объем вычислительных операций намного меньше числа операции связанных с получением матрицы узловых сопротивлений путем обращения всей матрицы  $[Y_{mk}]$ .

Как известно обращение матрицы | / пеобходимо для целого

ряда методов расчета электрических режимов энергосистемы.

Уравнения (5) более удобны для итерационных расчетов значений  $\varphi_c$ ,  $Q_s$ ,  $Q_s$ ,  $Q_s$  режима системы.

2. Уравнения с гибридиой магрицей [Н<sub>тк</sub>] получаются путем пре образований исходных (3) и имеют вид

$$\begin{bmatrix}
[H_{cc}^{11}] & [Y_{cs}][Y_{ss}]^{-1} \\
-[Y_{ss}]^{-1}[Y_{sc}] & [Y_{ss}]^{-1}
\end{bmatrix}
\begin{bmatrix}
[U_{c}e^{i\gamma_{c}}] \\
\frac{1}{U_{s}}(P_{s}-jQ_{s})e^{i\gamma_{s}}
\end{bmatrix}
=
\begin{bmatrix}
\frac{1}{U_{c}}(P_{c}-jQ_{c})e^{i\gamma_{c}} \\
[U_{s}e^{i\gamma_{c}}] \\
[U_{s}e^{i\gamma_{c}}]
\end{bmatrix}$$
(6)

где  $[H_{cc}^{11}] = [Y_{cc}] - [Y_{cs}][Y_{ss}]^{1}[Y_{sc}]$ 

Уравнения (6) удобны для итерационных расчетов значений:  $\Phi_c$ ,  $Q_s$ ,  $Q_s$ , по заданным:  $P_c$ ,  $U_c$ ,  $P_s$ ,  $Q_s$ .

Заметим, что гибридная матрица вида  $[\Pi_{mk}^{\Pi}]$  впервые была предложена в работе (3).

З Уравиения с гибридной матрицей [Н<sup>III</sup>] получаются из исходных (4) и имеют вид.

$$\begin{bmatrix}
|H_{cr}^{(i)}| |Z_{cs}| & |Z_{ss}|^{-1} \\
-|Z_{ss}|^{-1} |Z_{sc}| & |Z_{ss}|^{-1}
\end{bmatrix}
\begin{bmatrix}
\frac{1}{U_c} (P_c - jQ_c)e^{P_{cc}} \\
|U_se^{P_{sc}}| & |U_ce^{P_{cc}}|
\end{bmatrix}
=
\begin{bmatrix}
|U_ce^{P_{cc}}| \\
|U_se^{P_{sc}}| & |U_ce^{P_{cc}}| \\
|U_se^{P_{sc}}| & |U_se^{P_{sc}}|
\end{bmatrix}$$
(7)

где  $[H^{III}]$   $[Z_{cc}] - [Z_{cs}][Z_{ss}]^{-1}[Z_{sc}].$ 

Уравнения (7) по своей структуре аналогичны уравнениям (5) в улобны для итерационных расчетов значений:  $\psi_c$ ,  $U_c$ ,  $U_c$ ,  $U_s$  по заданным параметрам:  $P_c$ ,  $Q_c$ ,  $P_s$ ,  $Q_s$  режима систем c n=r-1 и незавнениями узлами.

1 Уравнения с гибридной матряцей [Н<sup>IV</sup>] получаются из исходных (4) и записываются так:

$$|Z_{cc}|^{-1} - |Z_{cc}|^{-1} |Z_{cs}|$$

$$|Z_{sc}| |Z_{cc}|^{-1} |Z_{cs}|$$

$$|Z_{sc}| |Z_{cc}|^{-1} |H^{IV}|$$

$$|U_s|^{p_s} - jQ_s|^{p_s}$$

$$|U_s|^{p_s} - |Z_{sc}| |Z_{cs}|$$

$$|U_s|^{p_s} - |Z_{sc}| |Z_{cs}|$$

$$|U_s|^{p_s} - |U_s|^{p_s}$$

$$|U_s|^{p_s} - |U_s|^{p_s} - |U_s|^{p_s}$$

$$|U_s|^{p_s} - |U_s|^{p_s} - |U_s|^{p_s}$$

Уравнения (8), как и (6), удобны для итерационных расчетов значений:  $\gamma_c$ ,  $Q_c$ ,  $\gamma_s$  по заданным нараметрам:  $P_c$ ,  $U_c$ ,  $P_s$ ,  $Q_s$  режима системы, представляемой многополюсником с n=r+n независимыми узлами.

Пример. Задана матрица (табл. 1) узловых проводимостей  $(g_{mk}-jb_{mk})10^{-4}$  одной системы с c=1:4 генераторными и s 5:8 пагрузочными узлами. Требуется получить гибридную матрицу коэффициентов уравнений (5). Так как m=1 то в табл. 1 приводятся значения элементов главной диагонали и непулевых элементов, расположенных вправо от нее

Таблица 1

m. k Rnt hmk m. k		149.25 5-6	0.709 108.69 5.7	-108.69 6 6	6.7	-184·15 7·7	341.45	8-8
m. R Link	52.577 383.55		=11.107	32.076 291.82	9.451	64.08		

В результате выполнения операций, указанных в матрице уравнений (5), получаются следующие (табл. 2.) ее параметры  $t_{mk} - j t_{mk}$ . Приводятся лишь пенулевые элементы

Таблица 2

m. k limk lmk m. k hmk	0.33 67 5.5	2·2 0·6 92 5·6·6 5 21·917	-11:107	31.367	1.7.2.6 1 0 6.7.7.6 9.454	0 7.7 63.35	-1 0 7-8-8-7 -42-75	1 0 8-8 42-78	× 10 -
	199.41	131.64		—186·127				-178.83	× 10-3

Таким образом, наряду с широко распространенными уравнениями электрических режимов энергосистем, в которых в качестве коэффициентов используются узловые проводимости  $Y_{mk}$  или узловые сопротивления  $Z_{mk}$  могут получить применение предлагаемые уравнения (5): (8) с гибридными матрицами  $[H_{mk}]$ .

Для получения гибридных матриц уравнений (5)  $\div$  (8) необходимы операции обращения подматриц, соответственно ( $Z_{cc}$ ), ( $Z_{ss}$ ), где c —индекс генераторных, s—индекс пагрузочных узлов системы.

Применение уравнений с гибридиыми матрицами позволит преодолеть недостатки, характерные для уравнений с матрицами узловых проводимостей (грудная сходимость итерации) и матрицами узловых сопротивлений (трудность реализации на ЭЦВМ задач с большим числом узлов).

Уравнения с гибридными матрицами могут оказать существенное влияние на скорость и сходимость итераций при решении различных задач оптимизации и устойчивости установившихся и переходных режимов энергосистем и их объединений.

### էներգաճամակարգի էլեկտրական ռեժիմների նավասաբումները, ճիմնված նիբրիդային մատրիցաների վրա

էներգանամակարդերի էլեկտրական ռեժիմների լայն տարածում ստացան հավասարումների նետ, որոնց մեջ որոյես դործակիցներ տղտադործվում են  $Y_{mk}$  հանգուցային հաղորդականությունները կամ  $Z_{mk}$  հանգուցային դիմա որությունները, կարող են կիրառություն գտնել նաև առաջարկվող հիքրիդա ին  $|Y_{mk}|$  մատրիցաներով (5)  $\cdot$  (8) համասարումները։ Այդ հավասարումները տանալու համար անհրաժեշտ են համապատատիանորեն  $[Y_{cc}]$ ,  $[Y_{ss}]$ ,  $[Z_{c}]$ ,  $[Z_{cs}]$  ենթամատրիցաների շրջման գործողություններ, որտեղ c համակար դի գեներատորային հանգույցների  $S_{co}$ 

դիմադրությունների մատրիցան)։

շիբրիղային մատրիցաներով Հավասարումների կիրառումը Հնարավորու լիմադրությունների մատրիցանիում ազաագործվում է Հանդուցային Հաղորդականությունների մատրիցաներով հավասարումների մատրի
արև և և և կրա մեծ քանակությամբ ւանգույցներով խնդիբների մատրի
հերությունները (իտերացիայի զուդամիտման դժվարությունների մատրի
հերությունները (իտերացիայի զուդամիտման դժվարությունների մատրի
հերությունները, ևրբ Հավասարումներում ազտագործվում է Հանդուցային

շիբրիղային մատրիցան)։

ություն վանանակ, իտիրացիայի արադության և դուպամիտման վրա։
-իթբիղային ժամանակ, իտիրացիայի արադության և դուպամիտման վրա։

#### ЛИТЕРАТУРА — ЪРЦЬЦЬПЬ РАЛЬЪ

<sup>1</sup> Г. 1 Адонц, Многополюсник, изд. АН Арм. ССР, 1965. <sup>2</sup> Г. Т. Адонц. "Электричество". № 2. 1970. <sup>2</sup> Н. Ч. Наве, R. W. Goodelch, Trans. AIEE, vol. 78, 1959.

УДК 542, 953

#### ОРГАНЬЧЕСКАЯ ХИМИЯ

Академик АН Армянской ССР В. И. Исагуляни, В. Р. Меликян, В. В. Покровская

К вопросу о реакционной способности 5-винилбицикло-[2, 2, 1]-гептена-2 и 5-этилиденбицикло-[2, 2, 1]-гептена-2 в реакции Принса

(Представлено 19/1 1972)

Изучение взаимодействия 4-винилциклогексена-1 с формальдегидом на катионообменной смоле КУ-2 показало, что реакция протекает преимущественно по циклической ненасыщенной связи (1).

Настоящая работа поставлена с целью выяснения направления реакции 5-винилбицикло-[2, 2, 1]-гептена-2 (1) и 5-этилиденбицикло-[2, 2, 1]-гептена-2 (11) с формальдегидом на катионите КУ-2

Результаты исследования показали, что конденсация (1) с формальдегидом протекает по ненасыщенной связи в бицикло-[2, 2, 1] гептановом кольце с образованием соответствующего диоксина-1,3 (III), а (II) реагирует с формальдегидом по двум двоиным связям почти одновременно, превращаясь в бис-диоксаи-1,3 (IV)

Следует отметить, что конденсация (П) с формальгидом протекает в значительно более мягких условиях, чем для (I).

Полученные данные позволяют проследить характер присоединения формальдегида к изученным пиклическим ненасыщенным системам в зависимости от их строения в присутствии протонных катализаторов, как, например, КУ-2.

1. 61-винилбицикло-[2, 2, 1]-гепто-[5, 6-в]-дноксан-1,3 (111). Смесь 12 г (0,1 моля) (1), 12 г (0,4 моля) формальдегида (371-ый раствор формалина) и 12 г катионита КУ-2 (СОЕ 4,95 мг-экв/г) перемешивали 6 179

часов при температуре 94. Реакционную массу экстрагировали эфиром. После высушивания и удаления растворителя продукт разгоняли в вакууме. Выделено 4.5 г. (25%) (111) г. кип. 118—120/5 им. г. р. 1.4992; d. 1.0679; МРд (найд.) 49,484; МРд (вычислено) 49,498.

Наидено %, С-72,99; H-8,69 С<sub>11</sub>Н<sub>16</sub>О<sub>2</sub> Вычислено %: С-73,33; H--8,88.

В ПК-спектре (ПП) наблюдаются частоты, отвечающие колебаниям винильной связи: 908, 992, 1640, 3081 см<sup>-1</sup>, и полосы, характерные для 1, 3-дноксанового кольца: 1160, 1128, 1070, 1045 см<sup>-1</sup>. В КР-спектре имеется частота 1640 см<sup>-1</sup>, соответствующая налентным колебаниям С=С винильной связи

2. Бицикло-[2, 2, 1]-гепто-[5, 6-в]-диоксан-1,3—7,51-спиро[61-метил] диоксан—1,3. Смесь 12 г (0,1 моля) (11), 12 г (0,4 моля) формальдегида (37%-ый раствор формалина) и 6 г катнонита КУ-2 перемешивали 4 часа при температуре 50. После обычной обработки (экстракция эфиром, высушивание и отгонка растворителя) реакционную массу разгоняли в вакууме. Получено 8,4 г (35%) (1V) т. кип. 148—150/5 мм, пр. 1,5032; d. 1,1460; МR2 (найд.) 61,232; МR2 (вычисл.) 60,464.

Найдено'є: С—64,83; Н—8,21. С<sub>13</sub>Н<sub>20</sub>О<sub>4</sub>. Вычислено%:С—65,0; Н—8,33.

В ИК-спектре наблюдаются полосы 1160, 1132, 1072, 1045 см 1, характерные для 1,3-дноксанового кольна.

При метанолизе соединений (III) и (IV) пыделялся метилаль с ныходом 51 и 63%, соответственно.

ИК-спектры снимались на двухлучевом регистрирующем спектрофотометре марки UR—20. Вещества снимались в тонком слое без растворителя Спектры КР снимались на стеклянном трехпризменном спектрографе ИСП—51.

Московский институт нефтехимической промышленности им. И М Губкина

Հայկական ՍՍՀ ԳԱ ակաղեմիկոս Վ. Ի. ԻՍԱԳՈՒԼՅԱՆՑ, Վ. Ռ. ՄԵԼԻՔՅԱՆ, Վ. Վ. ՊՈԿՐՈՎՈԿԱՅԱ

5-Վինիլբիցիկլո-[2.2.1]-ճեպտեն-2-ի և 5-էթիլիդենբիցիկլո-[2,2.1]-ճեպտեն-2-ի ռեակցիոն ունակությունը Պոինսի ռեակցիայում

Ապացուցված է, որ երե 5— վինիլրիցիկլո-[2,2,1]-հետտեն—2-ը ենքարկվում է կոնդենսացիայի ֆորմալդեհիդի հետ, ոեակցիան ընքանում է կրկնակի կապով, որը գտնվում է բիցիկլո հետտենի օղակի մեջ, իսկ 5— էքիլիդենթիցիկլո -[2,2,1]-հետտեն 2-ը կոնդենսացիայի է ենքարկվում երկու կրկնակի կապերով։

#### ЛИТЕРАТУРА— ЧГИЧИЪПЬРЗПЬЪ

В И. Псагулянц, В. Р. Меликян, М. А. Кукина, ДАН Арм. ССР, т. 49, 5, 246 (1969).

I.V 1972 3

УДК 542.947+547.321.333.

#### ОРГАНИЧЕСКАЯ ХИМИЯ

Академик АН Армянской ССР А. Т. Бабаян, Л. Х. Гамбурян

# О механизме термического расщепления гидроокисей триалкил- (2,3,3,3-тетрафторпропил)-аммония

(Представлено 21/11 1972)

При термическом расшеплении гидроокиси диметилэтил (2, 3, 3, 3-тетрафторпропил) аммония и качестве безазотистого продукта реакции образуется 1, 3, 3, 3-тетрафторпропен (1).

Авторами предлагается следующая схема реакции:

$$\begin{bmatrix}
CF_3CFH - CH - N \\
H
\end{bmatrix}
\underbrace{OH}_{-H_2O} \begin{bmatrix}
CF_3 - CFH - CH - N' - I \\
-(CH_3)_2NC_2H_5
\end{bmatrix}$$

$$CF_3CFH - CH$$

Согласно этой схеме первоначально образовавшийся илил, расшел ляется на третичный амии и карбен Внутримолекулярной стабилизацией последнего и образуется 1, 3, 3, 3-тетрафторпропен.

Результаты щелочного расщепления хлористого триалкил-\$-хлор-этиламмония, приводящего к образованию ацетилена (²)

$$(CH_2)^+_N + CH_2CH_2CI \xrightarrow{C} |(CH_2)^+_N - CH_2| \xrightarrow{C} C_2H_2 |(CH_2)^+_N |(CH_2)^+_N - CH_2| \xrightarrow{C} C_2H_2 |(CH_2)^+_N |(CH_2)$$

давали основание предполагать, что и в случае триалкил- (2, 3, 3, 3тетрафторпровил) аммония, содержащего фтор в 3-положении, расщевлению предписствует дегидрогалондирование с образованием енаммониевой соли

$$R_3N-CH-CH-CF_3\longrightarrow R_3N-CH-CH-CF_3$$
 (3)

H)

OH

и что 1, 3, 3, 3-тетрафторпропен является продуктом термического расщепления последней:

$$R_3 \stackrel{\frown}{N} - CH - CH - CF_3 \longrightarrow R_3 N - CHF - CH - CF_3.$$
 (4)

При справедливости наших представлений раствор гидроокиси при стоянии должен был постепению неитрализоваться, и параллельно с этим появляться ионы фтора.

Для проверки были приготовлены растворы гидроокисей триметил-(3-хлорэтил) и триметил-(2, 3, 3, 3-тетрафторпропил)-аммония. И, действительно, в обоих случаях уже при компатной температуре имела место нейтрализация растворов. При этом оказалось, что первая гидроокись в скорости дегидрогалоидирования значительно уступает второй. Так, через час в первом случае титрованием было установлено наличие 60% гидроокиси и образование 0,4 г-атомов иопного хлора на 1 г-мол исходной гидроокиси. Во втором случае через час осталось лишь 15% гидроокиси и образовалось 0,8 г-атомов ионного фтора.

После полной нейтрализации обоих растворов мы полытались выделить образовавшиеся епаммониевые соли-

Хлористый нейрин был выделен с 92% выходом. Получить фтористую соль в совершенно чистом виде нам не удалось, пришлось перевести ее в бромистую: к концентрированному спиртовому раствору 0,01 г-мол фтористой соли добавлялся спиртовый раствор 0,01 г-мол бромистого натрия. Раствор отфильтровывался от ныпавшего фтористого натрия (0,37 г 88%) и выпариванием или осаждением абсолютным эфиром получался бромистый триметил-(3, 3, 3-трифторпропенил) аммоний (1,7 г 74%), который при 168 С разлагается на летучие вещества. Найдено с 30.34; Н 4,77; N 6,13; F 24,67; Вг 34,69.

С<sub>5</sub>Н<sub>П</sub>NBrF<sub>3</sub> вычислено %: С 30,76; Н 4,70; N 5,94; F 24,34; Br 34,38. Данные ИК спектроскопии гонорят о наличии двойной связи (1691 с и <sup>-1</sup>)

Таким образом установлено, что расшеплению гидроокиси триалкил (2, 3, 3, 3-тетрафторпропил) аммония предшествует дегидрофториропание с образонанием фтористого триалкил (3, 3, 3-трифторпропенил) аммония.

Выражаем глубокую благодарность Л. С. Герману за любезное предоставление исходной соли бромистого триметил (2, 3, 3, 3-тетрафторпропил) аммония.

Институт органической химин Академии наук Армянской ССР ծրիալկիլ- (2.3, 3, 3-տետրաֆաորպրոպիլ)-ամոնիում ճիղոօքսիդի ջերմային նեղքման մեխանիզմի մասին

Դիմեկիլէկիլ—(2,3,3,3— տետրաֆտորպրոպիլ)— ամոնիում հիդրոբսիդի ջերմային ձեղջման (՝) համար հեղինակներն առաջարկում են մի մեկւանիզմ սիւեմա 1), որի համաձայն նախասիս առաջացած իլիդը ձեղջվում է, տալով երրորդային ամին և կարբեն։ Վերջինս կայունանում է, վերածվելով 1,3,3,3— տետրաֆտորպրոպենի։

Տրիմենիլ-3-թլորէնիլամոնիում թլորիդի հիմնային ձեղջումը () Հանգեցնում է ացետիլենի (սխեմա 2)։ Կարելի էր ենքաղրել, որ վերոհիշյալ ամոնիում հիդրօքսիդի ձեղջմանր նույնպես կնախորդի դեհիդրոհալոգենացումը,
(սխեմա 3), և որ 1.3,3,3-տետրաֆտորպրոպենն արդյունք է այդ նոր աղի
ջերմային ճեղջման (սխեմա 1)։ Եվ իրոք Հաջողվեց ցույց տալ, որ, տրիմենիլ3 -թլորէնիլ)-և տրիմենիլ-(2,3,3,3-տետրաֆտորպրոպիլ)-ամոնիում հիդրօջսիդների լուծույններն արդեն սենյակային ջերմաստիճանում հետգհետև չեդոքանում են և դրան պուգրննաց առաջանում են համապատասխանաբար
թլորի և ֆտորի իոններ։ Լուծույննայի լրիվ չեղոքանալուց հետո անջատվեցին
ստացված էնամոնիումային աղևրը՝ առաջին լուծույնից նեյրին թլորիդ 22ևլքով, իսկ երկրորդ լուծույնից ֆտորական աղը։ Վերջինս մշակվեց նատրիոմի բրոմիդի սպիրտային լուծույնով և անջատվեց մաքուր տրիմենիլ-(3,3,3տրիֆտորպրոպենիլ-ամոնիում բրոմիդը 72ևլքով,

#### ЛИТЕРАТУРА — ЧРИЧИЦИВЬ РВИНЬ

1 Л. С. Герман, А. В. Подольский, Н. Л. Кнунянц. ДАН СССР, 173, 6, 1328 (1967) 2 А. Т. Бабаян, Л. Х. Гамбурян, Э. О. Чухаджян и Э. С. Ананян, ДАН Арм ССР, т. XXXV, 5, 209, (1962).

3

УДК 551. 24.

ГЕОЛОГИЯ

#### П. Л. Епремян

# Некоторые особенности глыбовой структуры в полосе сочленения Анкаванского антиклинория и Памбакского синклинория

(Представлено академиком АН Армянской ССР П. Г. Магакьяном 11/П 1972)

Важными рудоконтролирующими структурами Армении являются краевые части среднеальнийских прогибов, особенно там, где они граничат с байкало-каледонскими и герцинскими антиклинальными структурами К таким контактам приурочены медно-молибденовые, золоторудные и другие месторождения. Один из этих контактов проходит по границе Памбакского синклинория и Анкаванского антиклинория.

Ядро Анкананского антиклинория сложено байкало-каледонскими структурами близмериднонального направления В герцинскую и рание-альнийскую эпохи они преобразовались по новому плану—приобрели северо-западное простирание; крылья их сложены позднелалеозойскими и мезозойскими образованиями

Памбакский сипклинорий заложен в позднем меле и претерпел интенсивное прогибание в палеогене, между Анкаванским синклинорием и Присеванской шонной антиклинальной зоной. Контактовая зона отмечается многочисленными глубокими разрывными нарушениями как взбросового, так и сбросового характера, придающими контактовой полосе блоковое строение, где каждый блок имеет свою определенную структуру и историю развития и отделяется от соседнего блока Контактовая полоса характеризуется также неоднократным внедрением интрузивных массивов, даечных и жильных пород разного состава.

В. Н. Котляр (1) указывает на существование здесь Сариканиского, Анкаванского и Улашикского разломов. Работы автора показали, что номимо перечисленных разломов, имеется ряд других глубоких надпигов (Меградзорский, Маманский) и сбросов (Какавадзорский, Алтунтахский и др.), имеющих северо-западное простирание Выделяется также ряд поперечных (северо-восточных) нарушений (Такарлинское, Корчлинское, Западно-Меградзорское, Восточно-Меградзорское, Цементно заводское, Анкаванское и ряд других). Указанные разрывные нарушения образовались последовательно, начиная с позднемелового периода и до неогена включительно, некоторые из них неоднократно обновлялись (Анкаванское).

Вышеописанные нарушения придают району блоковое строение, а пересскающие трещины мозанчиую структуру (рис 1).

Меградзорский разлом делит район на два блока: северный— Ахапнадзорский и южный Цахкашенский По этому разлому северный блок погружен, южный приподнят и надвинут на северный (Ахавнадзорский). Поперечные разрывные нарушения (Улашикское, Такарлинское, Корчлинское и др.) удванвают число блоков.

Какавадзорский разлом проходит параллельно Меградзорскому и делит Ахавнадзорский блок, в свою очередь, на два подблока северный (погруженный) и южный (приподнятый) Цахкашенский блок делится

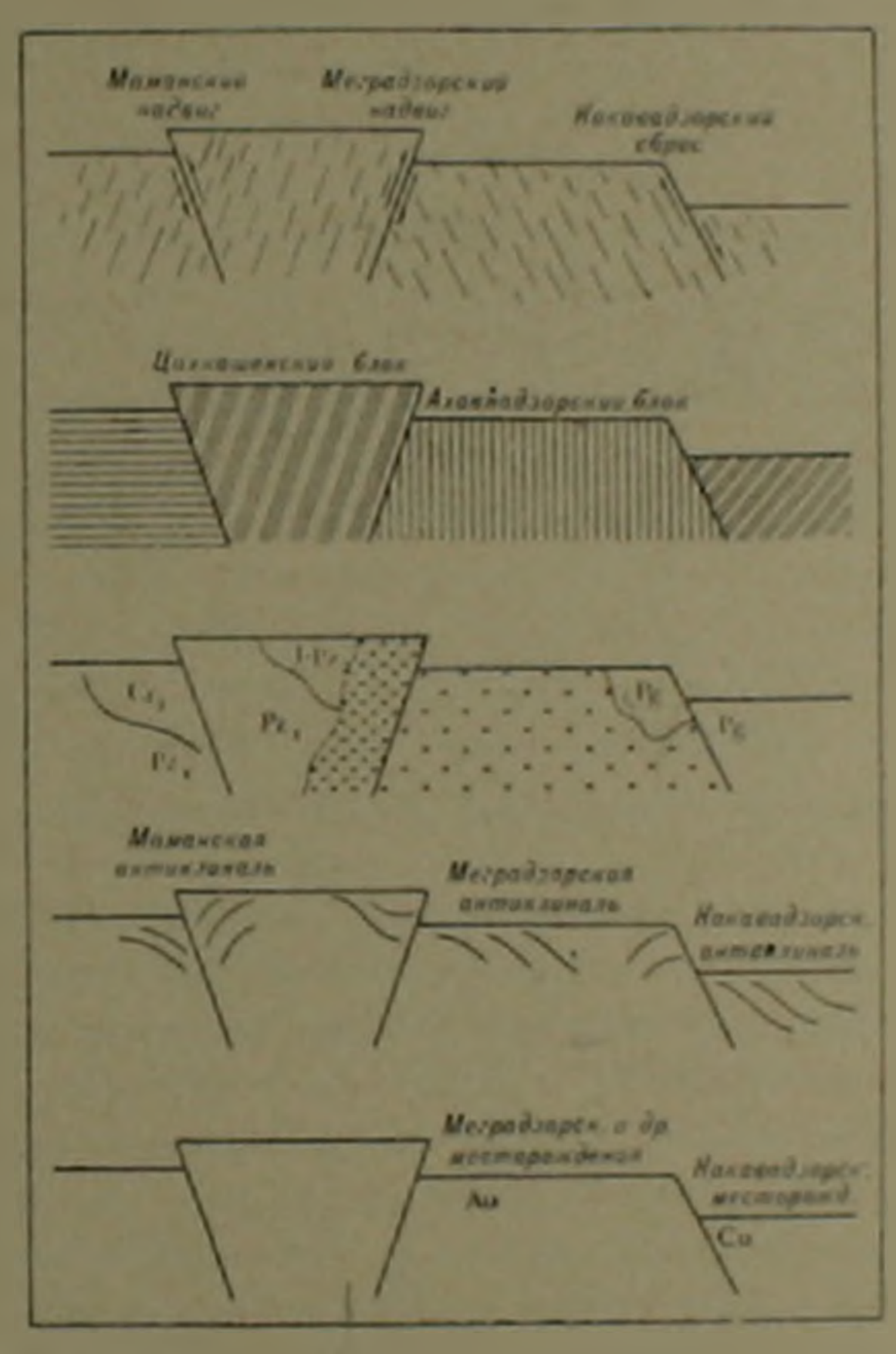


Рис. 1. Баоковое строение зоны сочаете ня Анкаванского антиканнория и Памбакского синклинория

Маманским надвигом также на два подблока: южный подблок приподнят, а северный надвинут на южный Таким образом, севернаи часть Цахкашенского блока горстообразно приподнята, а краевые (Ахавнадзорский и южная часть Цахкашенского блока) погружены. Это подтверждается также и общим геологическим строением района и нозрастом пород, слагающих различные блоки.

Так, северная часть Ахавнадзорского блока сложена средне-и перхнеэоценовыми образованиями, южная среднеэоценовыми вулканогепными породами; северную часть Цахкашенского блока слагают палеозонские и допалеозойские породы, а южную ее часть позднемеловые отложения.

Улашикским поперечным надвигом Цахкашенский блок отделяется от Анкаванского. По этому надвигу последний оказывается погруженным, а Цахкашенский—приподнятым. Аналогичная картина наблюдается и по Корчлинскому, Западно-Меградзорскому, Восточно-Меградзорскому разломам.

Таким образом, по поперечному разлому все блоки погружены в западную сторону, а к востоку они приподняты (рис. 2). Направление смещения у всех западное (под крутым углом).

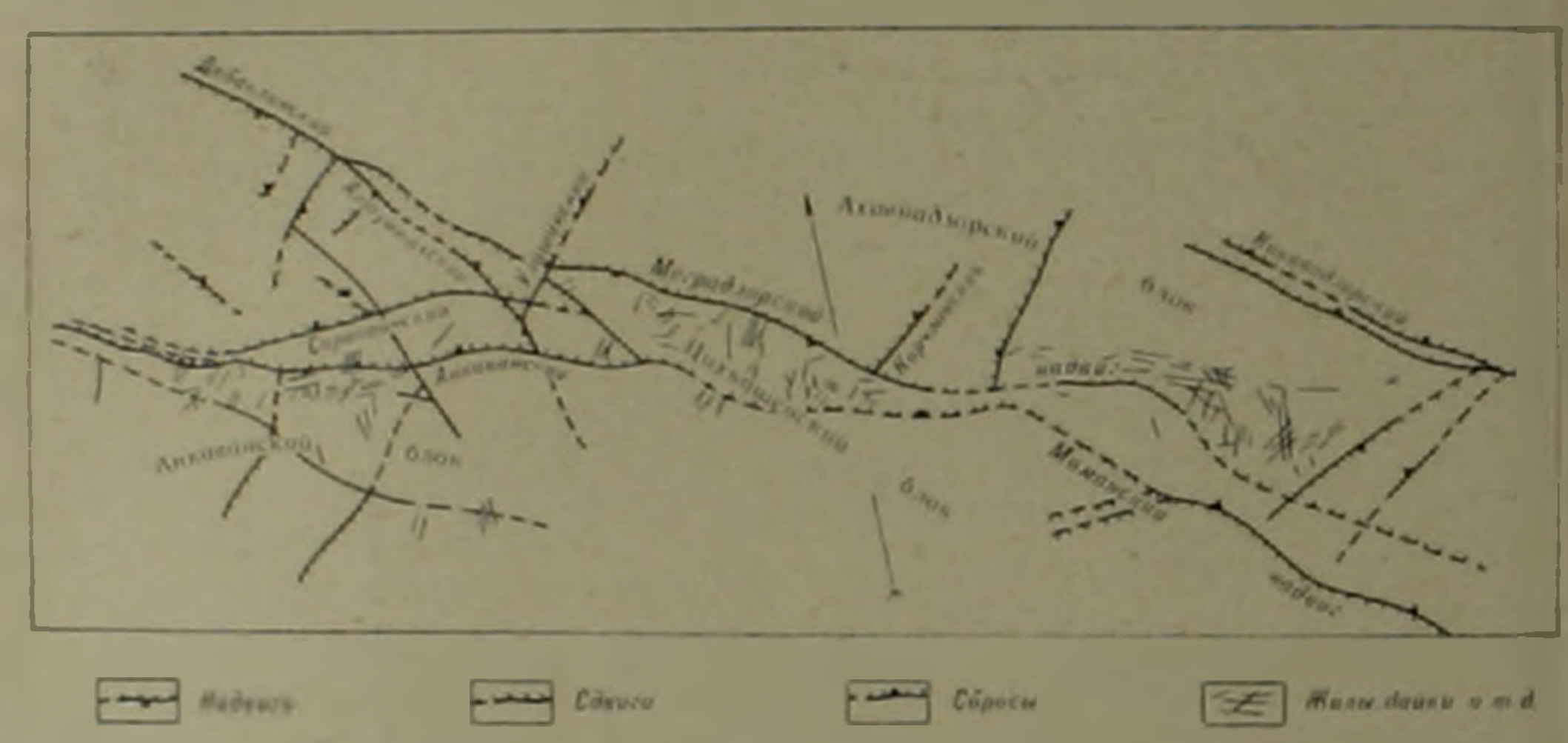


Рис. 2. Главнейшие разрывные нарушлиня Анкаван-Мегра ізорского рудного района

Внутренняя структура каждого блока различна. Денки Аханнадзорского блока представлены гранит-аплитами и гранит-порфирами, они имеют северо-западное близмеридиональное и северо-западное близши ротное простирание. Падение в основном северо-восточное

В Ахапналзорском Слоке широко распространены кварцавые, кварц-карбонатные и другие рудные жилы. Кварцевые жилы с сульфидной минерализацией имеют северо-западное близмеридиональное простирание, падение восточное и северо-восточное. Кварц-карбонатные жилы имеют северо-восточное простирание, падение северо-западное. Кварцевые жилы с гематитовой минерализацией имеют северозападное близмеридиональное простирание.

В Ахавнадзорский блок в предолигоценовое время внедрился Мармарикский массив; здесь четко выделяются первичные (прототектоинческие) продольные, поперечные, диагональные пологопадающие 
трещины. Продольные трешины имеют СЗ близширотное простирание, 
паление северо-восточное, поперечные трешины—северо-восточное близмеридиональное простирание, падение северо-западное. В Цахкашенском 
блоке распространены основные дайки—диабазы, лампрофиры и др., 
имеющие северо-восточное близмеридиональное простирание, падение 
северо-западное Пегматитовые жилы имеют почти такое же простирание. Рудные жилы имеют, главным образом, близширотное простирание, падение южное и частично северо-восточное простирание, падение

северо-западное. Пострудные трещины представлены двумя системами:

1) северо-восточные с падением на юго-восток и 2) широтные с падением на север. В этот блок внедрились предраннемеловые гранодноритовые
интрузивные массивы, в которых широко распространены поперечные

прототектонические трещины.

В Анкаванском блоке широко распространены кислые и, меньше, основные дайки с преобладающим близширотным простиранием. Такое же простирание имеют пегматитовые жилы и рудные зоны северной части блока. Кварцевые и рудные жилы имеют северо-восточное простирание, причем, в западной части блока они имеют юго-восточное падение, а в восточной северо-западное. В краеных частях блока падение жил относительно пологое, а в центральной части углы падения приближаются к вертикальному. Пострудные трещины имеют близмерилиональное простирание, падение восточное. В Анкаванский блок внедрились предпозднемеловые гранодноритовые интрузии и нижнемноценовые порфировидные граниты. К перным приурочено золоторудное, ко вторым медно-молибденовое оруденение. Последнее приурочено также к раздробленной полосе приразломной зоны

Ориентация даечных и жильных компонентов в вышеупомянутых блоках показывает, что дайки Анкаванского блока широтные, Цах-кашенского меридиональные, Ахавнадзорского северо-западные. Простирание кварцево-рудных жил и гидротермальных зон в Анкаванском блоке северо-восточное, падение северо-западное и юго-восточное; в Цахкашенском блоке широтное, паление юживе, а в Ахавнадзорском северо-западное близинротное, паление северо-восточное.

Внутрирудные жилы широко развиты в Ахавиалзорском блоке (в других—меньше). Пострудные трещины во всех блоках имеют одинаковое меридиональное простирание, падение восточное. Это говорит о своеобразной деформации каждого блока и однотипных повейших движениях.

Таким образом, каждый из названных блоков отличается своими особенностями:

- 1. В пределах Ахавнадзорского блока коарцевые жилы, гидротермально измененные породы и дайки имеют преимущественно северозападное простирание (до близмериднонального и близширотного), падение главным образом -- северо-восточное; при этом ориентация жил и даек соответствует ориентации продольных, поперечных и прототектоинческих трещии.
- 2 На территории Цахкашенского блока кварцение жилы и гидротермальные зоны имеют инротное простирание, падение южное; данки и пегматиты—северо-восточное близмеридиональное простирание, падение северо-западное; ориентация жил и гидротермальных зон Цахкашенского блока соответствует ориентации продольных тектонических трещии, я даек и негматитов ориентации поперечных протектонических трещии Цахкашенского массива.
- 3. В Анкананском блоке данки имеют северо-западное близширотное простирание и соответствуют продольным прототектовическим трещи-

нам Кварцевые жилы в гидротермальные зоны имеют северо-восточное близмеридиональное простирание, падение северо-западное или юго-восточное и соответствуют поперечным прототектоническим трещинам Анкаванского массива.

- 1. Кварцевые жилы и гидротермальные зоны, включающие гемати товую минерализацию, во всех блоках имеют северо-восточное простира ние, падение только северо-западное.
- 5. Пострудные трещины во всех блоках одинаковые: они имеют северо-восточное и северо-западное близмеридиональное простирание и восточное падение
- б. Кварцевые жилы с гематитовой минерализацией и пострудные трещины образовались в эпоху новейших тектонических движений
- 7. Краевые близширотные трещины Анкаванского блока включают медно-молибденовое орудение, поперечные трещины висмут-теллур золотоносные жилы, а продольные трещины Цахкашенского блока— золоторудное оруденение. Продольные поперечные и диагональные трещины Ахавнадзорского блока содержат редкие элементы. С продольными трещинами западной части Ахавнадзорского блока связана золоторудная минерализация.

Производственный геологоразведочный трест.

#### 9. L. borbirsilia

Հանքավանի անտիկլինուիի և Փամբակի սինկլինուրիի ճողավուման զոտու լեկուային կառուցվածքի մի քանի առանձնաճատկությունները

րաբխային ապարներից և մունայի ասաշացումներից, իսկ երկրորդը՝ էոցենյան բարեային ապարներից և մունայի ասաշացումներից, իսկ բևկրորդը, էոցենյան բարգային ապարների և արանացորի երկրոր իշած է։ Նրանցից առաջինը արաժանված է արդերում եր արդարանան բարգային արդերում եր արդերում արդերում եր արդերում

#### JI HIEPATYPA - PCUUUU OFPSOFE

<sup>1</sup> В. И. Котляр, Памбак, Геология, интрузивы и металлогения. Изд. АН Арм. ССР, Ереван, 1958.

## -ЦВИЦИЦЪ ППЗ ЧРВПРВПРЪЪВГР ЦИЦАВГРИВР ЗВИПРВВЪГР ДОКЛАДЫ АКАДЕМИИ НАУК АРМЯНСКОЯ ССР

LV 1972

УДК 551 224.

ВУЛКАНОЛОГИЯ

3

#### Г. И Багдасарии, К. И. Карапетии

### О новом неогеновом вулканическом центре на Цахкунянском хребте

(Представлено академиком АН Армянской ССР И. Г. Магакьяном 21 ПП 1972)

Вулкан был обнаружен Г. П Багдасаряном летом 1969 г. Находится он ССЗ с. Кахси, на правом берегу р. Раздан, в нижней части горного массива, увенчанного Острон Горкой (1986,0 м).

Массив сложен нижнеэоценовой (1) вулканоганно-осалочной свитой мощностью до 250 м; представлена она, в основном, туфопесчаниками и туфоалевролитами, которые прослаиваются мергелями, песчаниками, известняками и единичными потоками андезитовых порфиритов В этом месте свита, вместе с сенонскими морскими отложениями, слагает СВ крыло крупного Арзакан-Спитакского антиклинория (2), протягивающегося в общекавказском направлении.

В окрестностях вулкана склоны массива, имеющие крутизну до 25—30°, изрезаны сухими балками, спускающимися к р. Раздан. Вулканическая построяка, собственно, не сохранилась; рунны ее расположены в верховьях одной из таких балок, имеющей восточный (91 100 1 сток, на высоте около 1700—1720 м. Рунны выражены в эксплозивных продуктах, компактно распространенных на оваловидном, в плане, участке (20—30—50—60 м), вытянутом и суживающемся по теченню балки, прорезающей овал по большой осн

Плавный контур участка развития нулканитов с ВЮВ нарушен «заливом», сложенным мергелисто-песчанистыми отложениями нижнего эоцена. В обнажении отчетливо видно (рис 1) секущее положение нулканических агломератов, определяющее их принадлежность, в этом месте, к жерловой фации и не оставляющее сомнения в том, что элесь частично вскрывается стенка поднодящего канала вулкана. Помимо этого вулканические агломераты в небольших скоплениях обнажаются в западной, высокой части овала.

Агломераты, в основном, представлены угловатыми шлаками и лапиллями, с преобладанием образцов размером 2—10 см Среди обломков абсолютно преобладают тонкопористые разновидности; шлаковая текстура не типична. Довольно часто встречаются и вулканические бомбы. Крупные (20—60 см) образцы имеют аллипсондально-уплошен-

ную форму, крупнопористую или рванопузырнетую сердцевниу и, иногда трещиноватую поверхность. Мелкие (3 --10 см) бомбы более изометричны и внутрениее их строение не столь характерно; в то же время у них всегда отчетлива поверхностная скульптура, определяемая плоскостям отслоения и трещинами Ивет вулканитов черно-серый, черный; окисленные, буроватые образны не обнаружены.

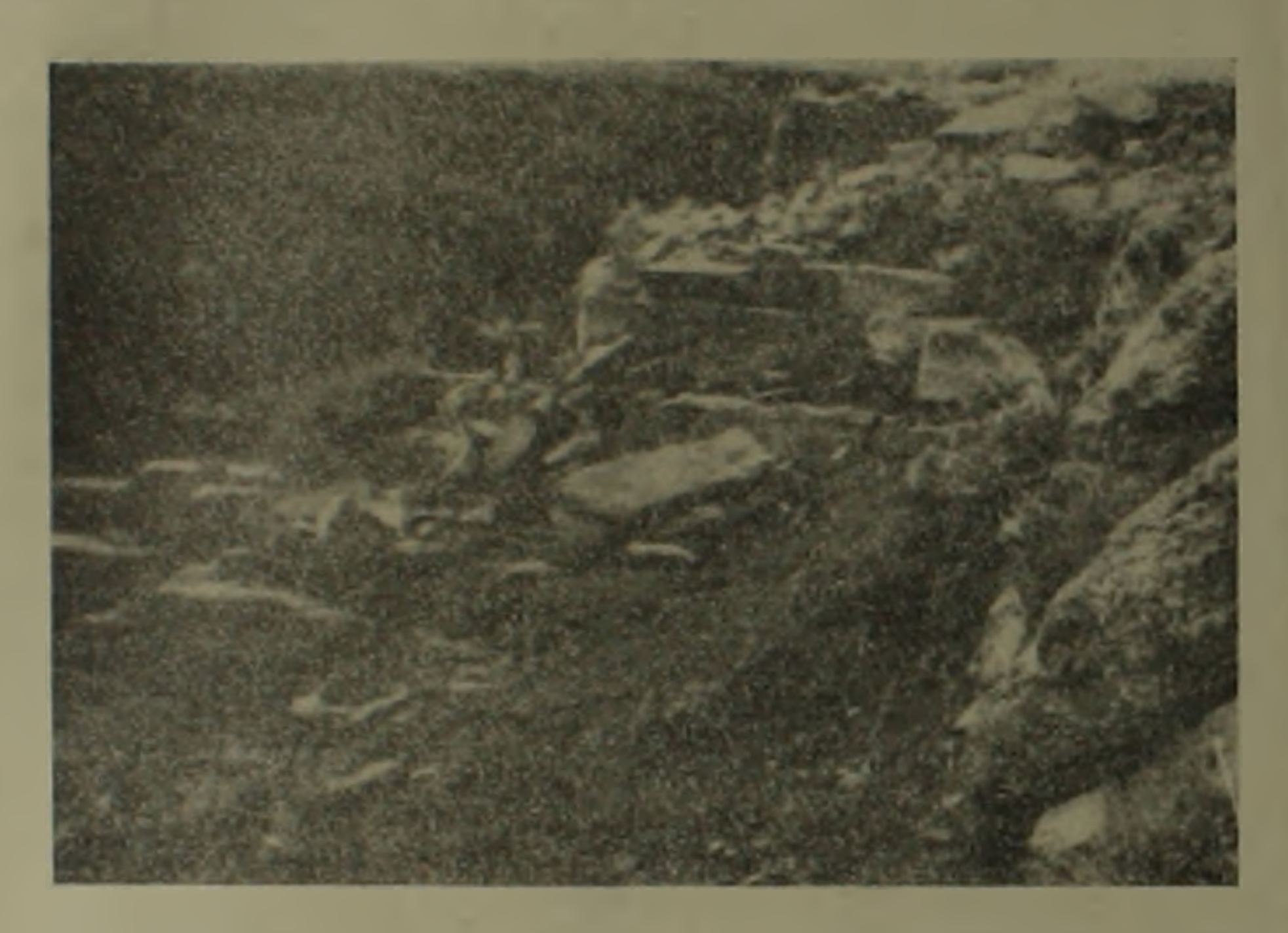


Рис 1. Контакт вулканических агломератов (справа) и слодстых отложении вижнего зоцена

Агломераты, в общем, хаотичны и местами слабо спаяны. Только бомбы в основной своей массе как-будто слагают отдельный горизонт.

В остальной части ореола развития к пулканитам примешивается иной материал обломки эоценовых пород. Количественное соотношение того и другого материала изменяется значительно и незакономерно. Только к востоку количество вулканических обломков убывает; в этом же направлении, в общем, уменьшается и их размерность.

Обломки зоценовых пород имеют угловатую и угловато-округлую формы и, обыкновенно, в размере релко превышают 5—10 см. Отложение их связано с персиосом временными нодотоками и, частично, осыпями. Вместе с вулканическим материалом они местами образуют хаотические брекчии той или иной плотности, цементом которых является карбонатное нещество. Такого рода брекчии, правда мелкообломочные, «проникают» и в агломераты, покрывая обломки вулканитов тонкими корками.

Схожие брекчин в незначительном развитии, нероятно отмечающие другой, небольшой центр извержения, находятся в нескольких десятках метров к 103 от вулкана.

Из приведенной характеристики видно, что продукты деятельности выражены только кластическим материалом; следы эффузивных явлений отсутствуют. Представлены эти породы андезитами, содержащими небольшое (1,5—4,0%) количество вкрапленияков андезина, клинопироксена и базальтической роговой обманки.

Андезии почти всегда представлен микроикрапленниками лейстовидных очертаний и носит микротиновый облик; содержание его в породе 0,4—1,2% Клинопироксен образован призмами длиною 0,1—0,2 мм, только в одном месте встречены более крупные (0,4—0,5 мм) кристаллы с cNg 44 и 2v = +58 в ассоциации с гиперстеном Количество клинопироксена колеблется в пределах 0,4—1,5%. Базальтическая роговая обмаика отличается крайне неравномерным распределеннем (0,5—2,2%) и относительно крупными (0,2—0,5 мм) опацитизированными кристаллами.

Основная масса состоит из игольчатых микролитов и микронолитов плагноклаза, серийно переходящих в фенокристаллы, незначительного количества микролитов пироксена, кристалликов (4—40 мк) рудного минерала и стекла Стекло полупрозрачное, темное, содержит кристаллиты и единичные выделения анатита. Структура ссновной массы гиалопилитовая, с незначительными вариациями содержания стекла. В отдельных образцах поры выполнены карбонатным веществом.

Анализ шлака (обр. 2073—БК), произведенный в химической лаборатории Сев.—Запади. Гу ГПКГ РСФСР (аналитик В С. Алексеева) дал следующие результаты: SiO<sub>2</sub>—58,18%; TiO<sub>2</sub>—0,81%; Al<sub>2</sub>O<sub>3</sub>—17,31%; Fe<sub>2</sub>O<sub>3</sub>—3,45%; FeO—2,52%; MnO—0,12%; MgO—3,18%; CaO—6,25%; Na<sub>2</sub>O—3,50%; K<sub>2</sub>O—2,90%; H<sub>2</sub>O—0,40%; ппп—1,24%; сумма—99,86%.

По трем образцам из вулканических агломератов были проведены определения абсолютного возраста кали-аргоновым методом (табл. 1). Определения выполненные в Лаборатории ядерной геохронологии ИГН АН Арм. ССР под руководством Г. П. Багдасаряна, позволяют отнести вулкан к среднеплиоценовому времени (среднее значение 4,6=0,3 млн. лет).

Той нща 1 Результаты абсолютного датирования продуктов деятельности вузкана у с. Кахси

Номер образца	К. %	s s + 10-a	Радно геппый аргон, %	Ar40 c.w3 z -	Ar40 H 2/2-10-5	A140 K40	Baspact,	Примечание
2074 – bK	2.46	3.0	5.2	0.455	0.81	0.27	4.7	
5403	2.52 2.52 2.52 2.46	3.07 3.07 3.08 3.00	2.81 4.7 5.3 5.2	0+43 0+43 0+499 0+455	0.77 0.77 0.894 0.82	0.25 0.25 0.29 0.27	4.5 4.5 5.2 4.7	
2075 - БК	2.59	3 · 16 3 · 16	3 · 86 6 · 0	0.39	0.70 0.85	0·22 0·27	4.0	4.35+6.35

Извержения вулкана происходили в среднеплионеновое премя, и период, как показывают последние данные, характеризующийся мощным вулканизмом, охватившим многие области Армянского нагорья. Такой областью явилась и территория Цахкуняцского хребта, где неогеновый вулканизм завершился извержением андезитов и андезито-базальтов (3); одним из центров извержений этого последнего этапа был интересующий нас вулкан

Из характеристики продуктон деятельности и ореола их развития следует, что вулкан представлял собой небольной шлаковый конус, активная жизнь которого была чрезвычайно кратковременной, выражалась в явлениях чисто эксплозивного характера и не сопровождалась излияниями лав. Вероятно, вулкан возник на небольшой трещине СВ простирания и действовал одновременно с другим, аналогичным, но менее значительным центром, следы которого сохранились неподалеку

Институт геологических наук Академии наук Армянской ССР

#### Գ. Պ. ԲԱՂԳԱՍԱՐՏԱՆ, Կ. Ե. ԿԱՐԱՊԵՏՑԱՆ

Սաղկունյաց լեռնաչդքայի նեոգենի նու հաաբխային կենտոոնի մասին

Հանգած հրաբխային կենտրոնը հայտնաբերվել է 1969 թ. Հր<mark>ազդան դե</mark>տի աջավմնյակում, Քախսի գյուղից դեպի հյուսիս-արևմուտք։

աարի առաջ այն է ժիջին պլիոցենյան ժաժանակաշրջանում.

#### ЛИТЕРАТУРА — ЧРИНИВНЕВ ПЬВ

<sup>1</sup> А. Л. Габриелян, Палсоген и неоген Армении, Изд. АН Арм. ССР, Ереван, 1964 <sup>2</sup> Г. П. Багдасарян, «Известия АН Арм. ССР», серия физ.-мат.-естеств. и технич. наук. № 8 (1950). <sup>3</sup> Г. П. Багдасарян, А. А. Адамян, С. Б. Абовян, В кн. «Геология Армянской ССР», т. IV, Петрография (вулканические породы), Изд. АН Арм. ССР, Ереван, 1970.

